

الامتحان الوطني الموحد للبكالوريا

NS 44

+.XNAX+ I NEYOXO +。E。U。O+ I 80XEE alaE80 V 80E8++X *****





الدورة العادية 2018 -الموضوع-

المركز الوطني للتقويم والإمتحانات

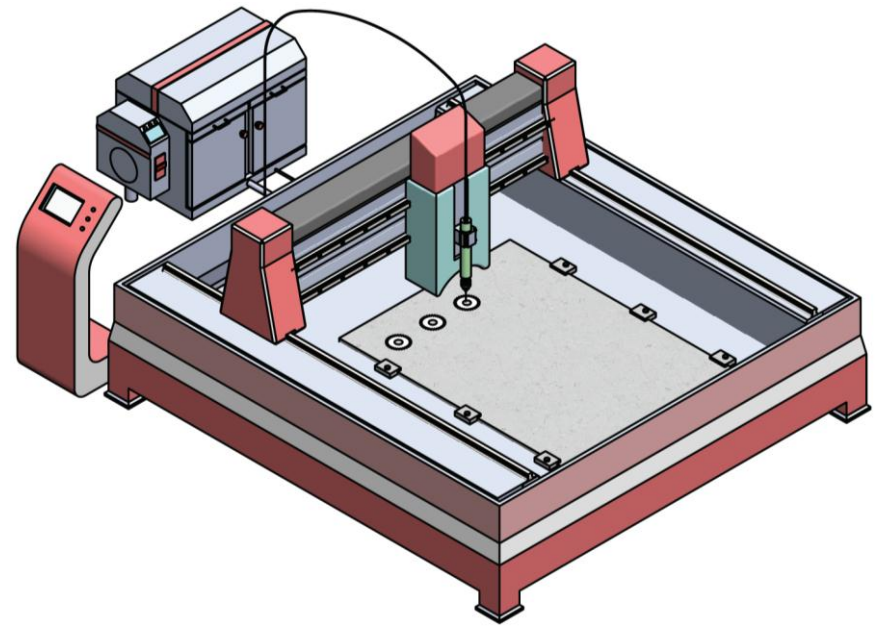
3	مدة الإنجاز	علوم المهندس	المادة
3	المعامل	شعبة العلوم الرياضية: مسلك العلوم الرياضية "ب"	الشعبة أو المسلك

Constitution de l'épreuve

Volet 1: Présentation de l'épreuve page 1. Volet 2: Présentation du système pages 2, 3. Volet 3: Substrat du sujet pages 4, 5.

> Documents réponses **D.Rep** pages 6, 7, 8, 9, 10, 11, 12. Documents ressources **D.Res** pages 13, 14, 15, 16, 17, 18.

Volet 1 : Présentation de l'épreuve



Machine de découpe à jet d'eau. Système à étudier :

Durée de l'épreuve : 3 h. Coefficient:

Moyens de calcul autorisés : Calculatrices scientifiques non programmables.

Documents autorisés : Aucun.

- Vérifier que vous disposez bien de tous les documents de 1/18 à 18/18.
- Faire une lecture attentive afin de vous imprégner du sujet.
- Rédiger les réponses aux questions posées sur les documents réponses **D.Rep**.

NB: Tous les documents réponses D.Rep sont à rendre obligatoirement.

Sauf indications contraires, prendre deux chiffres après la virgule pour tous les résultats des calculs.

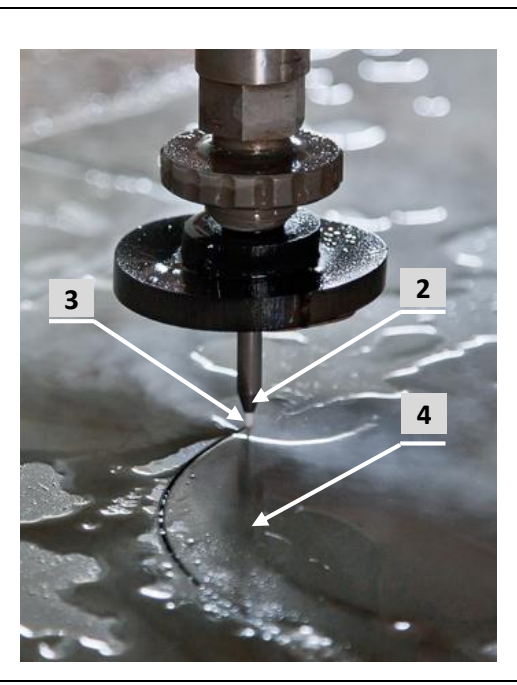
الامتحان الوطني الموحد للبكالوريا – الدورة العادية 2018 – الموضوع – مادة: علوم المهندس — العلوم الرياضية— مسلك العلوم الرياضية "بد"

Volet 2 : Présentation du système

1. Mise en situation (Voir figures ci-dessous)

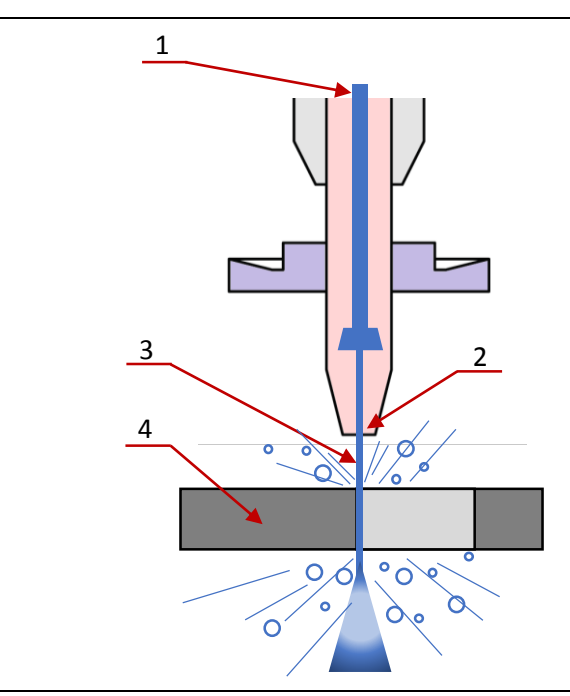
Le **découpage à jet d'eau pure** est une technologie de pointe utilisée pour **découper des pièces spéciales en matériaux** tels que mousse, cuir, matériaux métalliques, matériaux composites, avec une précision élevée et sans influence thermique sur ces matériaux.

Les matériaux sont découpés au moyen du **jet d'eau 3**, projeté à **très grande vitesse** (2 à 3 fois la vitesse du son), cette mise en vitesse est réalisée en forçant un débit d'eau à travers **la buse 2** de très petit diamètre, avec des pressions comprises entre **2000** et **4000** bars.





2 : Buse de \varnothing 0,1 mm.



3 : Jet d'eau.

4 : Pièce à découper.

2. Présentation de la machine de découpe à Jet d'eau.

La machine de découpe à jet d'eau, objet de notre étude, est constituée de trois unités :

L'unité de déplacement à 3 axes (Voir D.Res 1 et D.Res 2) :

Elle est responsable du mouvement de la **buse** et est constituée de :

- 3 systèmes linéaires (SL) de déplacement en translation suivant les trois axes X, Y et Z:
 - Le système SLX permet de déplacer le chariot X suivant l'axe X par l'intermédiaire de deux systèmes vis-écrou à billes actionnés par deux moteurs identiques à courant continu MX1 et MX2;
 - Le système SLY permet de déplacer le chariot Y suivant l'axe Y, par l'intermédiaire d'un système pouliescourroie crantée actionné par un moteur à courant continu MY;
 - Le système **SLZ** permet de déplacer le **chariot Z** (porte buse) suivant l'axe **Z**, par l'intermédiaire d'un système **vis-écrou à billes** actionné par un **moteur à courant continu MZ**.
- Codeurs Cdx1, Cdx2, CdY et CdZ pour contrôler respectivement la vitesse et la position des actionneurs MX1, MX2, MY et MZ;
- Capteurs de fin de course pour limiter les mouvements des chariots X, Y et Z.

L'unité hydraulique (Voir D.Res 1 et D.Res 3) :

Elle est constituée de :

- Un groupe motopompe hydraulique composé d'une pompe haute pression PHP actionnée par un moteur électrique asynchrone triphasé M1 commandé par un variateur de vitesse ;
- Un **vérin 1A** à double étage (huile/eau), appelé **intensifieur** qui pressurise l'eau à **très haute pression THP** à partir de l'huile sous pression ;
- Un accumulateur qui permet de stocker l'eau à très haute pression THP pour assurer une continuité du jet d'eau ;
- Une canalisation à haute résistance qui conduit cette eau pressurisée vers la buse;

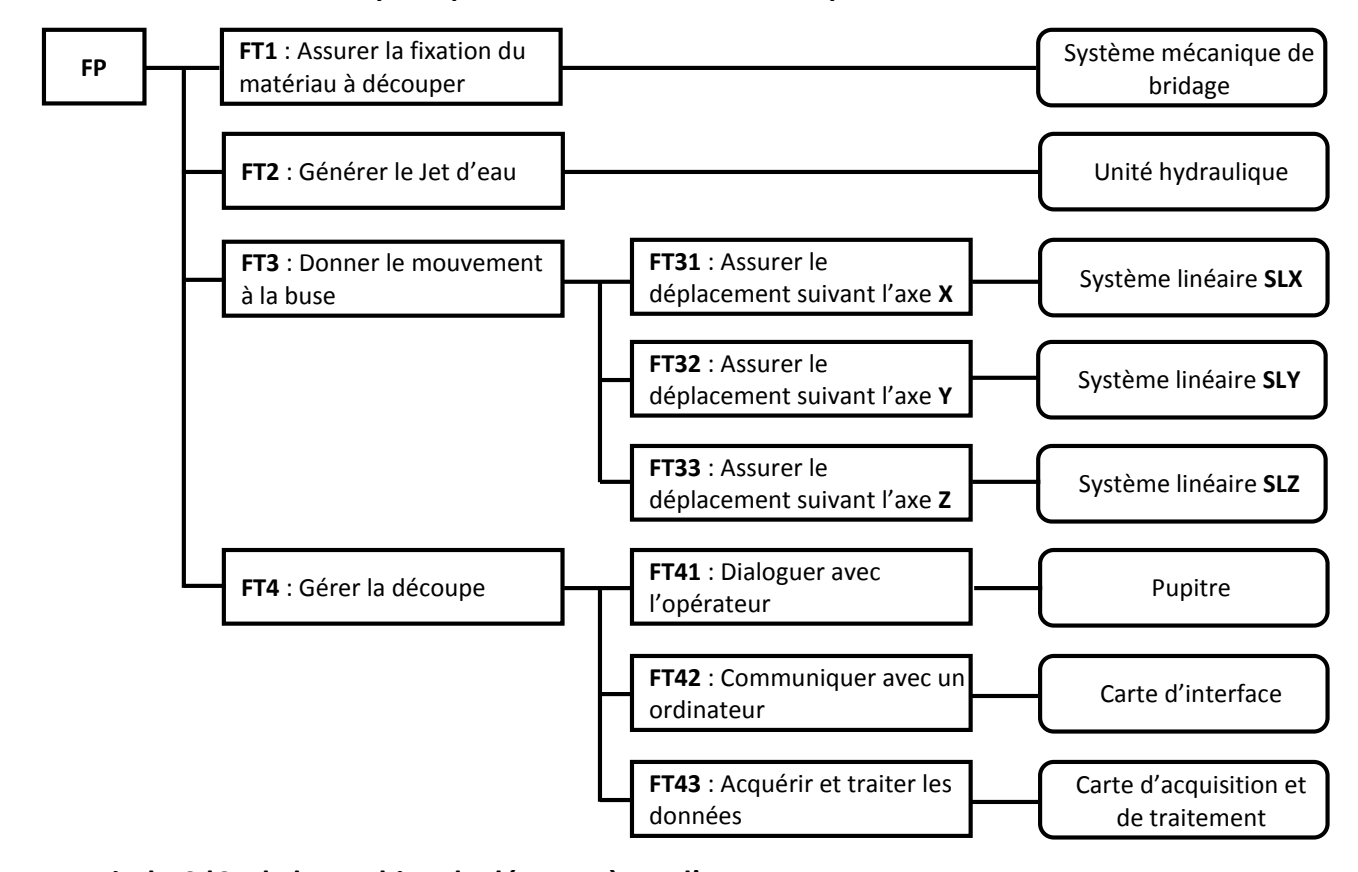
الامتمان الوطني الموحد للبكالوريا – الحورة العادية 2018 — الموضوع – مادة: علوم المهندس — العلوم الرياضية "بد"

L'unité de commande (Voir D.Res 1) :

Elle est Constituée d'une armoire de commande contenant :

- Une carte d'acquisition et de traitement de données ;
- Une carte d'interface pour connecter un ordinateur à la machine ;
- Un **pupitre** de dialogue avec l'opérateur.

3. FAST relatif à la fonction principale de la machine de découpe à Jet d'eau.



4. Extrait du CdCF de la machine de découpe à Jet d'eau.

Fonction de service	Critère	Niveau	Flexibilité
	Pression de l'eau de découpe	4000 Bars	± 5%
	Débit d'eau de découpe	0,335 l/min	
	Pression de l'huile	160 Bars	
FP	Courses X, Y, Z maximales	2970 x 2390 x 350 mm	
	Vitesse maximale de découpe	43,78 m/min	
	Précision de positionnement	0,01 mm	
	Répétabilité	± 0,030 mm	

NS44

الامتحان الوطني الموحد للبكالوريا – الدورة العادية 2018 – الموضوع – مادة: علوم المهندس — العلوم الرياضية— مسلك العلوم الرياضية "بد"

Volet 3 : Substrat de sujet

Pour être compétitif dans le secteur de l'habillage intérieur des avions par l'augmentation de la production (qualité et délai), une société locale envisage d'investir par l'acquisition d'une **machine de découpe à jet d'eau** pour réaliser des pièces spécifiques. Vous êtes membre de l'équipe qui va identifier certains choix de solutions technologiques employées dans cette machine et vérifier quelques-unes de ses caractéristiques à travers les trois situations d'évaluation suivantes :

Situation d'évaluation n°1

5,25 Pts

On vous invite à utiliser les outils de l'analyse fonctionnelle pour vous aider à appréhender les solutions employées dans la **machine de découpe à jet d'eau** et leurs fonctions à travers les tâches suivantes :

Tâche n°1: Expression du besoin et identification des fonctions de service.

A partir du volet n°2 et des D.Res 1 et D.Res 2, sur le D.Rep 1.

Q.01. Exprimer le besoin en complétant la « Bête à cornes ».

0,25 pt

Q.02. Compléter le diagramme des interactions et le tableau des fonctions de service.

1,75 pt

Tâche n°2: Identification des solutions technologiques utilisées pour réaliser les fonctions « FT2 » et « FT32 ».

A partir du volet n°2 et des D.Res 1, D.Res 2 et D.Res 3, sur le D.Rep 2.

Q.03. Compléter le FAST relatif à la fonction « FT2 ».

2,00 pts

Q.04. Compléter le FAST relatif à la fonction « FT32 ».

1,25 pt

Situation d'évaluation n°2

4.50 Pts

L'unité hydraulique responsable de la production du jet d'eau à très haute pression influe directement sur la qualité de la découpe. L'étude de cette unité passe par l'identification de ses composants et par la vérification de ses caractéristiques. Pour cela, on vous demande de réaliser les tâches suivantes :

Tâche n°1: Identification des constituants de l'unité hydraulique.

A partir du volet n°2 et du D.Res 3, sur le D.Rep 2.

Q.05. Compléter le tableau par le nom et la fonction des éléments de l'unité hydraulique.

1,50 pt

Q.06. Pendant le fonctionnement normal de l'unité hydraulique, la pression indiquée par l'élément **0V4** est-elle une haute pression (**HP**) ou une très haute pression (**THP**) ?

0,25 pt

Tâche n°2 : Schématisation de l'intensifieur en position travail.

A partir du D.Res 3, sur le D.Rep 3.

Q.07. Compléter le schéma de câblage de puissance de l'intensifieur dans les deux positions travail.

1,00 pt

Q.08. Indiquer l'état (bloqué ou passant) des clapets dans la position travail à droite.

0,25 pt

Tâche n°3 : Vérification de la pression de découpe.

A partir du D.Res 3, sur le D.Rep 4.

Q.09. Donner l'expression théorique de l'effort **Fh** engendré par la poussée de l'huile sur le piston de l'intensifieur en fonction de la pression de l'huile **Ph** et des diamètres **D** et **d**.

0,25 pt

Q.10. Donner l'expression théorique de l'effort **Fe** appliqué sur l'eau par la tige de l'intensifieur en fonction de la pression de l'eau **Pe** et du diamètre **d**.

0,25 pt

Q.11. Sachant que Fe = Fh (Pas de pertes), montrer que $Pe = 24 \times Ph$.

0,50 pt

Q.12. Sachant que la pression de l'huile est **Ph=160 bars**, Calculer la pression de l'eau **Pe** (en bars). Conclure sur la correspondance de cette valeur avec celle annoncée par le constructeur dans le CdCF.

0,50 pt



NS44

الامتمان الوطني المومد للبكالوريا – الدورة العادية 2018 – الموضوع – مادة: عُلُومُ المُمنِدس – العلومُ الرياضية "بد"

Situation d'évaluation n°3

10,25 Pts

La vérification des performances de la **machine de découpe à jet d'eau** notamment le type de matériaux à découper et la vitesse de découpe, passe par la mobilisation des connaissances pluridisciplinaires permettant d'aborder :

- Sa cinématique ;
- le contrôle du déplacement ;
- la validation de sa motorisation.

Pour arriver à ce but, on vous demande de réaliser les tâches suivantes :

Tâche n°1 : Etude de la structure cinématique et des solutions constructives utilisées dans l'unité de déplacement à 3 axes.

A partir des D.Res 2, D.Res 4 et D.Res 5, sur les D.Rep 4 et D.Rep 5.

Q.13. Compléter le tableau des classes d'équivalence de l'unité de déplacement à 3 axes.

1,50 pt

Q.14. Compléter le tableau par le nom de la liaison et le mouvement possible entre les classes d'équivalence (Mettre une Croix « X » dans la case convenable).

0,75 pt

Q.15. Donner la solution employée par le constructeur pour réaliser la liaison entre CE2 et CE4.

0,25 pt

Q.16. Compléter le schéma cinématique de l'unité de déplacement à 3 axes par les deux liaisons manquantes entre les classes d'équivalence CE1 et CE2 d'une part et entre CE6 et CE7 d'autre part.

0,50 pt

Q.17. Compléter le tableau relatif à la liaison entre l'arbre 73 et la poulie 64.

0,75 pt

Q.18. Compléter le dessin de l'arbre 73 en :

2,50 pts

- Vue de face ;
- vue de droite.

Tâche n°2 : Vérification de la précision de positionnement de la machine de découpe à jet d'eau.

Sachant que tous les codeurs sont identiques et montés sur les axes des moteurs (Voir **D.Res 2**). A partir du **D.Res 5** et **D.Res 6**, sur le **D.Rep 6**. <u>Calculer</u> en prenant <u>quatre chiffres</u> après la virgule :

Q.19. Le déplacement dx₄₂ (en mm) du chariot X pour un tour du moteur MX1.

0,25 pt

Q.20. La précision théorique px (en mm) obtenue par le codeur Cdx1.

0,25 pt 0,25 pt

Q.21. Le déplacement dy_{66} (en mm) du chariot Y pour un tour du moteur MY. (On donne le rapport global kg = 0,073)

0,25 pt

Q.22. La précision théorique py (en mm) obtenue par le codeur Cdy.

0.50

Q.23. La précision de positionnement **pm** (en **mm**) de la machine. Conclure sur la correspondance de cette valeur avec celle annoncée par le constructeur dans le CdCF.

0,50 pt

Tâche n°3: Validation du choix du moteur MY.

Lorsqu'on découpe des matériaux composites, le moteur MY absorbe un courant I de 4 A sous une tension U de 70 V. Dans ces conditions et à partir du D.Res 6, sur le D.Rep 7 :

Q.24. Calculer le couple Cmy (en N.m) développé par le moteur MY.

0,25 pt

Q.25. Calculer la valeur de la force électromotrice E (en V) puis déduire la vitesse de rotation NmY (en tr/min).

0,50 pt 0,25 pt

 $\textbf{Q.26.} \ \text{Calculer alors la puissance} \ \textbf{P}_{\textbf{Y}} \ (\text{en } \textbf{W}) \ \text{développée par le moteur } \textbf{MY}.$

0,25 pt

Q.27. Calculer la puissance P₆₆ (en W) disponible au niveau de la courroie 66.

0,50 pt

Q.28. On prendra pour Nmy la valeur 2300 tr/min, Calculer la vitesse de rotation N_{64} (en tr/min) puis la vitesse linéaire V_{66} (en m/s).

Q.29. Calculer alors la force de poussée \mathbf{F}_{66} (en \mathbf{N}) disponible au niveau de la courroie $\mathbf{66}$.

0,25 pt

Q.30. Le moteur MY est-il valide si on considère que la force de poussée F_y minimale pour déplacer le chariot Y est estimée à 470 N ? Justifier votre réponse.

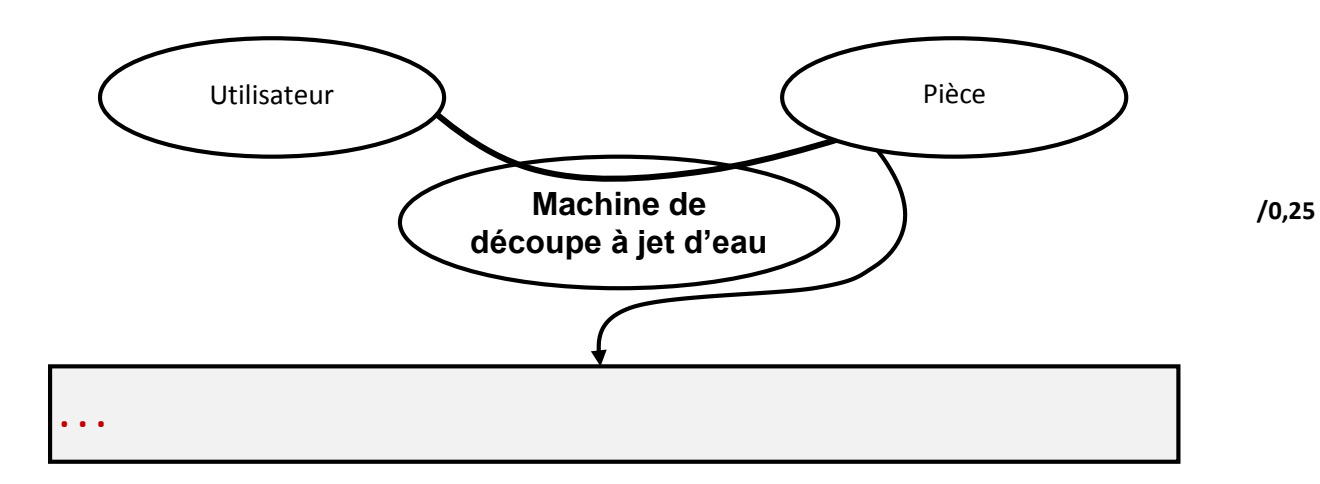
0,50 pt



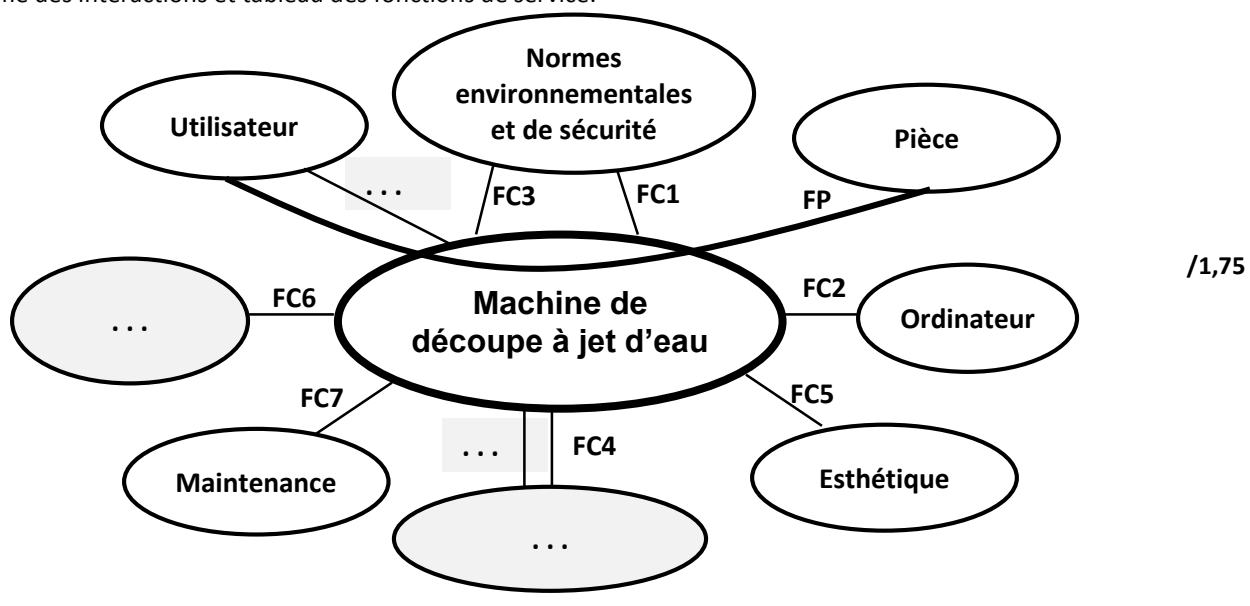
الصفحة 18 NS44 الامتمان الوطني الموحد للبكالوريا – الدورة العادية 2018 — الموضوع – مادة: عُلُومِ المُهنِدس — العلومِ الرياضية — مساك العلومِ الرياضية "بد"

D.Rep **1** (2,00 Pts)

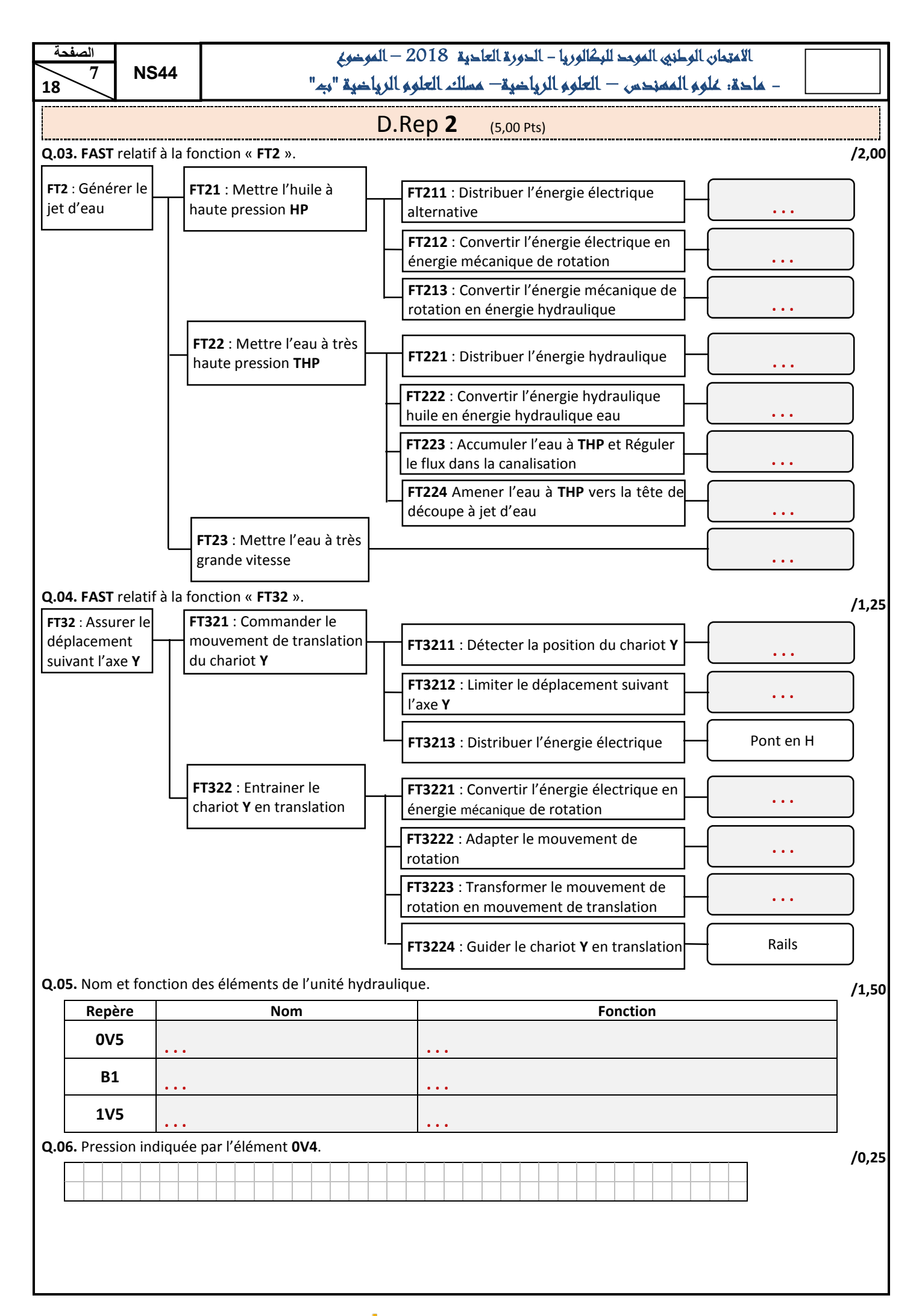
Q.01. « Bête à cornes ».



Q.02. Digramme des interactions et tableau des fonctions de service.



FP	•••
FC1	Respecter les normes environnementales.
FC2	•••
FC3	•••
FC4	Utiliser l'eau du réseau de l'eau potable.
FC5	Etre esthétique.
FC6	Utiliser l'énergie électrique du réseau électrique.
FC7	Avoir une maintenance aisée
FC8	Déminéraliser l'eau
FC9	Garantir la sécurité de l'utilisateur



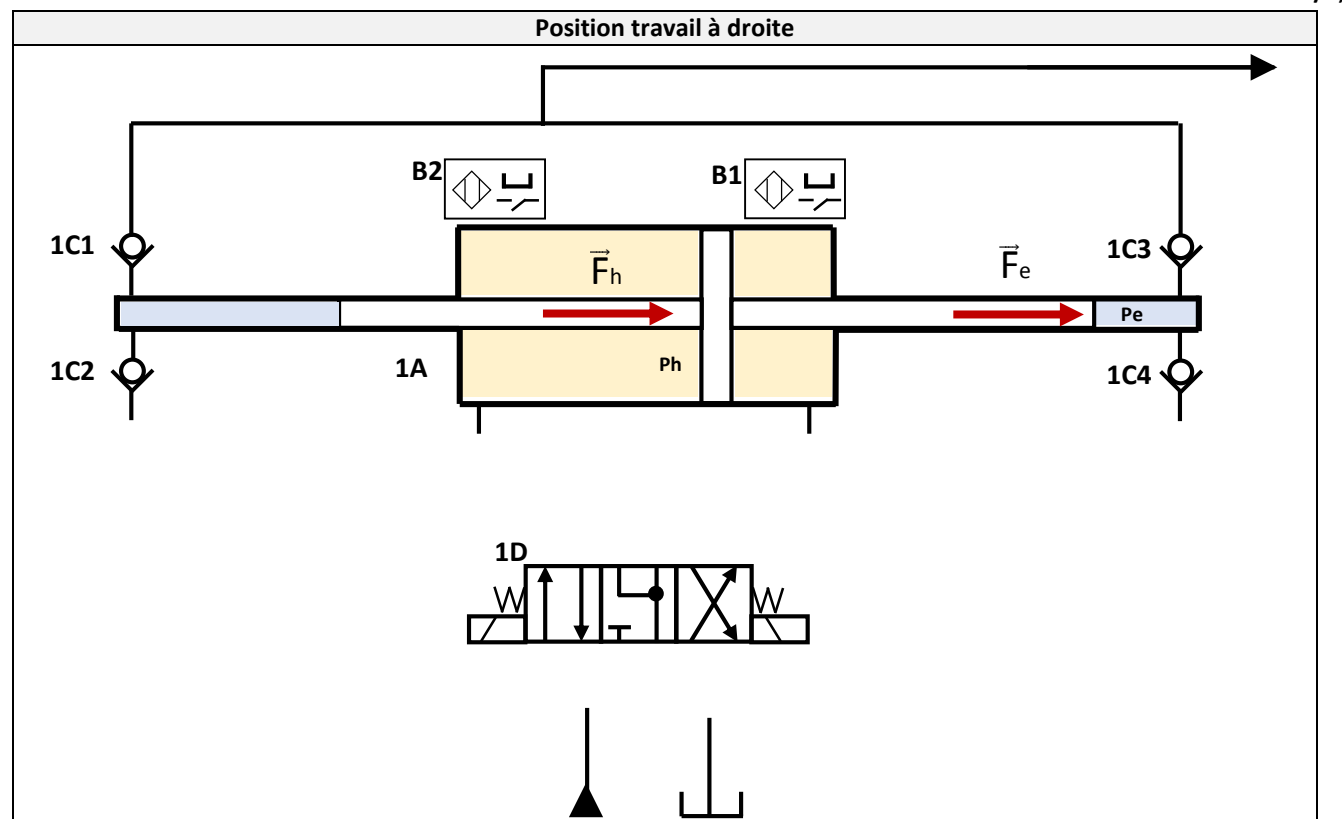
الامتحان الوطني الموحد للبكالوريا – الدورة العادية 2018 – الموضوع

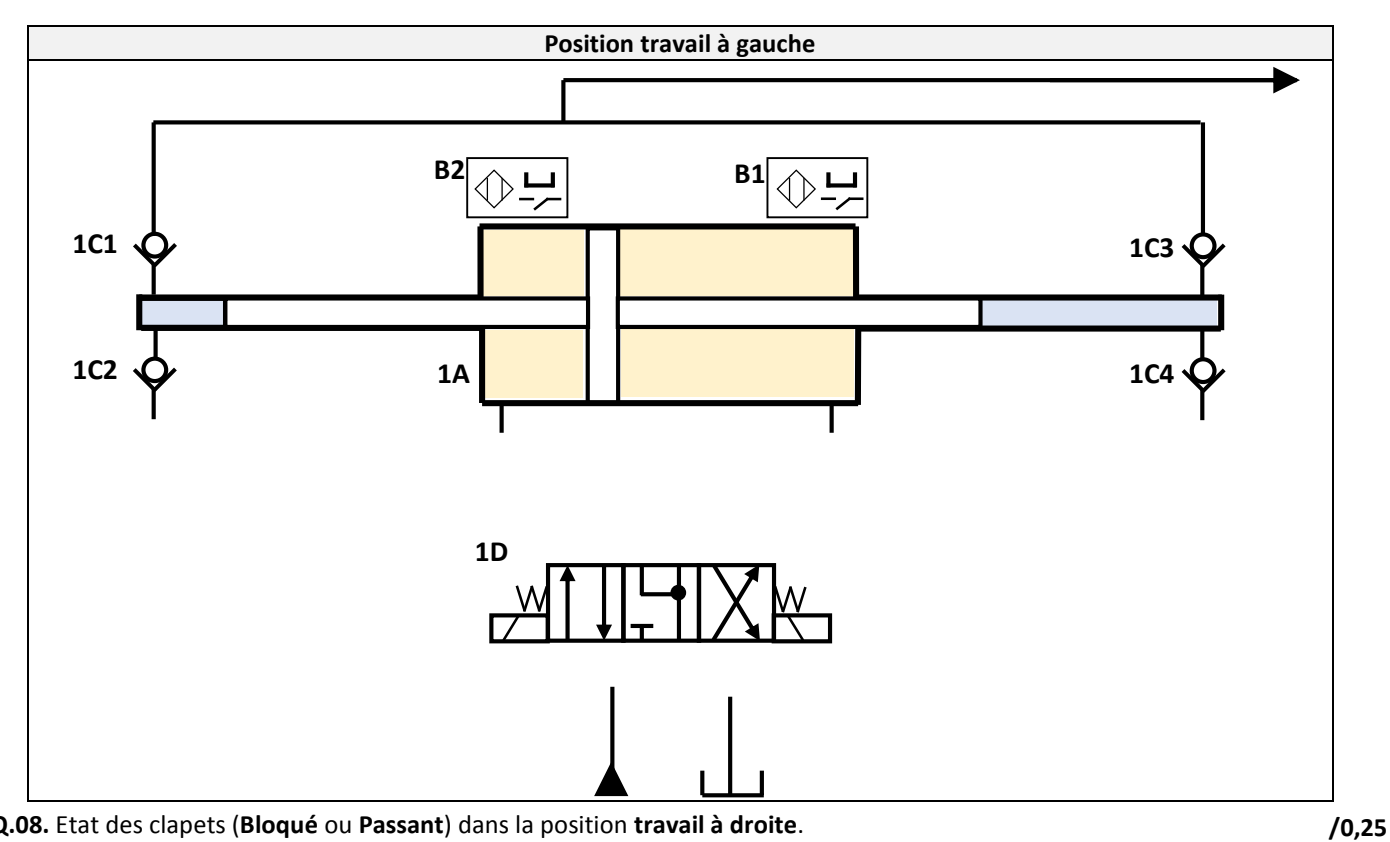
– مادة: غلوم الممندس — العلوم الرياضية — مسلك العلوم الرياضية "بم"

D.Rep 3

Q.07. Schéma de câblage de puissance de l'intensifieur dans les deux positions travail.

/1,00





Q.08. Etat des clapets (Bloqué ou Passant) dans la position travail à droite.

Clapet	1C1	1C2	1C3	1C4
Etat				

D.Rep 4 (3.00 Pts) Q.09. Expression théorique de l'effort Ph en fonction de la pression de l'huile Ph et des diamètres D et d. (70, 10). Q.10. Expression théorique de l'effort Fe en fonction de la pression de l'huile Ph et des diamètres D et d. (70, 10). Q.11. Démonstration de Pe = 24 x Ph. (70, 10). Q.12. Calcul de Pe et conclusion. (70, 10). Q.13. Tableau des classes d'équivalence de l'unité de déplacement à 3 axes. (71, 10). Q.14. Tableau des classes d'équivalence de l'unité de déplacement à 3 axes. (71, 10). Q.15. Tableau des classes d'équivalence de l'unité de déplacement à 3 axes. (71, 10). Q.15. Tableau des classes d'équivalence de l'unité de déplacement à 3 axes. (71, 10). Q.16. Expression théorique de l'entre de déplacement à 3 axes. (71, 10). Q.17. Tableau des classes d'équivalence de l'unité de déplacement à 3 axes. (71, 10). Q.18. Tableau des classes d'équivalence de l'unité de déplacement à 3 axes. (71, 10). Q.19. Tableau des classes d'équivalence de l'unité de déplacement à 3 axes. (71, 10). Q.19. Tableau des classes d'équivalence de l'unité de déplacement à 3 axes. (71, 10). Q.19. Tableau des classes d'équivalence de l'unité de déplacement à 3 axes. (71, 10). Q.19. Tableau des classes d'équivalence de l'unité de déplacement à 3 axes. (71, 10). Q.19. Tableau des classes d'équivalence de l'unité de déplacement à 3 axes. (71, 10).	<u> </u>	ىقد		4														4	سو	عود	11 -	- 2	20	1	8	ž,	عاد	4L a	ورا	الد	l –	ريا	الوا	2	د للر	بعد	لمو	ال	ط	الو	Lç	تمار	لاما	11							7
Q.10. Expression théorique de l'effort Fe en fonction de la pression de l'huile Ph et des diamètres D et d. (A) Q.10. Expression théorique de l'effort Fe en fonction de la pression de l'eau Pe et du diamètre d. (A) Q.11. Démonstration de Pe = 24 x Ph. (A) Q.12. Calcul de Pe et conclusion. (A) Q.13. Tableau des classes d'équivalence de l'unité de déplacement à 3 axes. (A) Q.14. Constituants (CEO) (CEI) (CE2) (CE3) (CE4) (CE5) (CE5) (CE5) (CE7) Châssis 40 X (Vis 41) Ecrou à billes 42 Poulie 62 Poulie 62 Poulie 64	18	\	<u></u>			NS	4	4									"4	4 "	بية	باذ	لر	هِ ١	لو	عالع	عم	11	٠	<u>_</u> z	عي	یا۔	الر	\$	علو	11	_	Ø	۷,	ja	الم	ķ	لو	٤:	X۷	ماد	۰ ـ						\rfloor
Q.10. Expression théorique de l'effort Fe en fonction de la pression de l'huile Ph et des diamètres D et d. Q.10. Expression théorique de l'effort Fe en fonction de la pression de l'eau Pe et du diamètre d. Q.11. Démonstration de Pe = 24 x Ph. Q.12. Calcul de Pe et conclusion. Q.13. Tableau des classes d'équivalence de l'unité de déplacement à 3 axes. Q.14. Calcul de Pe et conclusion. Q.15. Calcul de Pe et conclusion. Q.16. Expression théorique de l'effort Fe en fonction de la pression de l'eau Pe et du diamètre d. (A) Q.17. Calcul de Pe et conclusion. (B) Q.18. Calcul de Pe et conclusion. (Calcul de Pe et conclusion																					D	.R	e	n	4	,		(3 (nn I	Pts	:)																				Ī
Q.10. Expression théorique de l'effort Fe en fonction de la pression de l'eau Pe et du diamètre d. Q.11. Démonstration de Pe = 24 x Ph. Q.12. Calcul de Pe et conclusion. Q.13. Tableau des classes d'équivalence de l'unité de déplacement à 3 axes. (Canstituants CEO CEI CE2 CE3 CE4 CE5 CE6 CE7 Chàssis 40 X Vis 41 Ecrou à billes 42 Poulle 62 Poulle 64	Q.(9.	Ext	ore	ssi	on	th	éo	ric	aue	e d	le l	ľe	ffo	rt	Fh	en	ı fo	nc													 h е	et d	de	s d	iar	nè [.]	tre	es C	<u></u>	et (d.								<u> </u>	i
Q.11. Démonstration de Pe = 24 x Ph. (A) Q.12. Calcul de Pe et conclusion. (B) Q.13. Tableau des classes d'équivalence de l'unité de déplacement à 3 axes. (Casses d'équivalence CEO CEI CE2 CE3 CE4 CE5 CE6 CE7 Châssis 40 X Vis 41 Ecrou à billes 42 Poulie 62 Poulie 64	Γ																				T														_														<i>/</i>	U,2	.Э
Q.11. Démonstration de Pe = 24 x Ph. (A) Q.12. Calcul de Pe et conclusion. (B) Q.13. Tableau des classes d'équivalence de l'unité de déplacement à 3 axes. (Casses d'équivalence CEO CEI CE2 CE3 CE4 CE5 CE6 CE7 Châssis 40 X Vis 41 Ecrou à billes 42 Poulie 62 Poulie 64					ļ		1						1								ļ	ļ	1																	1											
Q.11. Démonstration de Pe = 24 x Ph. (A) Q.12. Calcul de Pe et conclusion. (B) Q.13. Tableau des classes d'équivalence de l'unité de déplacement à 3 axes. (Casses d'équivalence CEO CEI CE2 CE3 CE4 CE5 CE6 CE7 Châssis 40 X Vis 41 Ecrou à billes 42 Poulie 62 Poulie 64	-	+	+	+	+	+	+	+				+	+	+	\dashv					H	\vdash	+	+	+						H	+	+	+	+	-			H	+	+	\dashv			\vdash	+	+	+	\vdash	H		
Q.11. Démonstration de Pe = 24 x Ph. (A) Q.12. Calcul de Pe et conclusion. (B) Q.13. Tableau des classes d'équivalence de l'unité de déplacement à 3 axes. (Casses d'équivalence CEO CEI CE2 CE3 CE4 CE5 CE6 CE7 Châssis 40 X Vis 41 Ecrou à billes 42 Poulie 62 Poulie 64		İ	İ		İ							İ	#								İ	İ	#								İ								İ	İ							İ				
Q.11. Démonstration de Pe = 24 x Ph. (A) Q.12. Calcul de Pe et conclusion. (B) Q.13. Tableau des classes d'équivalence de l'unité de déplacement à 3 axes. (Casses d'équivalence CEO CEI CE2 CE3 CE4 CE5 CE6 CE7 Châssis 40 X Vis 41 Ecrou à billes 42 Poulie 62 Poulie 64																																																			
Q.11. Démonstration de Pe = 24 x Ph. (70) Q.12. Calcul de Pe et conclusion. (70) Q.13. Tableau des classes d'équivalence de l'unité de déplacement à 3 aves. (71) Constituants Constituants Classes d'équivalence CEO CEI CE2 CE3 CE4 CE5 CE6 CE7 Châssis 40 X Vis 41 Ecrou à billes 42 Poulie 62 Poulie 64	Q .1	0.	Exp	ore	ssi	on	th	éo	ric	que	e d	le l	ľe	ffo	rt	Fe	en	fo	nc	tio	n c	de	la	pre	ess	sio	n d	e l	'ea	u l	Pe	et	dι	ı d	liar	nè	tre	d											/	0,2	25
Q.12. Calcul de Pe et conclusion. Q.13. Tableau des classes d'équivalence de l'unité de déplacement à 3 axes. Constituants CEO CE1 CE2 CE3 CE4 CE5 CE6 CE7 Châssis 40 X Vis 41 Ecrou à billes 42 Poulie 62 Poulie 64		I	I		I																	I	1																										Ė		
Q.12. Calcul de Pe et conclusion. Q.13. Tableau des classes d'équivalence de l'unité de déplacement à 3 axes. Constituants CEO CE1 CE2 CE3 CE4 CE5 CE6 CE7 Châssis 40 X Vis 41 Ecrou à billes 42 Poulie 62 Poulie 64		+	+	+	+	+	+	+				+	+	+	\dashv					H	\vdash	+	+	+	-					H	+	+	+	+	-			H	+	+	\dashv			\vdash	+	+	+	\vdash	H		
Q.12. Calcul de Pe et conclusion. Q.13. Tableau des classes d'équivalence de l'unité de déplacement à 3 axes. Constituants CEO CE1 CE2 CE3 CE4 CE5 CE6 CE7 Châssis 40 X Vis 41 Ecrou à billes 42 Poulie 62 Poulie 64		#	#		#							1	#								İ	İ	#								İ																İ				
Q.12. Calcul de Pe et conclusion. Q.13. Tableau des classes d'équivalence de l'unité de déplacement à 3 axes. Constituants CEO CE1 CE2 CE3 CE4 CE5 CE6 CE7 Châssis 40 X Vis 41 Ecrou à billes 42 Poulie 62 Poulie 64	-	+	+	+	+	+	+	+			-	+	+	+	\dashv					H	╀	+	+	+						H	+	+	+	_	_				+	+	\dashv			H	+	+	+				
Q.12. Calcul de Pe et conclusion. Q.13. Tableau des classes d'équivalence de l'unité de déplacement à 3 axes. Constituants CEO CE1 CE2 CE3 CE4 CE5 CE6 CE7 Châssis 40 X Vis 41 Ecrou à billes 42 Poulie 62 Poulie 64	L																																																	_	
Q.13. Tableau des classes d'équivalence de l'unité de déplacement à 3 axes. Classes d'équivalence CEO CE1 CE2 CE3 CE4 CE5 CE6 CE7	Q.1	.1.	Dé	mo	ns	tra	tic	n	de	P	e =	: 24	4 ×	P	h.																																		/	0,5	0
Q.13. Tableau des classes d'équivalence de l'unité de déplacement à 3 axes. Classes d'équivalence CEO CE1 CE2 CE3 CE4 CE5 CE6 CE7				+	+	+	+	\dashv				+	+	+	\dashv						-	+	+	-							+	+	+	-					+	+	\dashv				+	+	+				
Q.13. Tableau des classes d'équivalence de l'unité de déplacement à 3 axes. Classes d'équivalence CEO CE1 CE2 CE3 CE4 CE5 CE6 CE7							#																1																												
Q.13. Tableau des classes d'équivalence de l'unité de déplacement à 3 axes. Classes d'équivalence CEO CE1 CE2 CE3 CE4 CE5 CE6 CE7		+	+	\perp	+	+	+	4			-	+	+	4	\dashv					H	H	+	+	+	_					L	+	+	+	_	_				+	+	\dashv			H	+	+	\perp	-	L		
Q.13. Tableau des classes d'équivalence de l'unité de déplacement à 3 axes. Classes d'équivalence CEO CE1 CE2 CE3 CE4 CE5 CE6 CE7		$^{+}$	$^{+}$		$^{+}$	\dagger	\dagger	\dashv			\vdash	+	$^{+}$	\dagger	\dashv					H	t	$^{+}$	\dagger	\dagger	\dashv					H	$^{+}$	+	+					H	+	+	+			H	+	+	+	H	H		
Q.13. Tableau des classes d'équivalence de l'unité de déplacement à 3 axes. Classes d'équivalence CEO CE1 CE2 CE3 CE4 CE5 CE6 CE7					1	1	Ţ	4				1	4	4	\exists						H	H	1	4								-	1						H	1					-	-	H				
Q.13. Tableau des classes d'équivalence de l'unité de déplacement à 3 axes. Classes d'équivalence CEO CE1 CE2 CE3 CE4 CE5 CE6 CE7					+		$^{+}$	+					+		\dashv								+	-								+	+	+						+	\dashv										
Q.13. Tableau des classes d'équivalence de l'unité de déplacement à 3 axes. Classes d'équivalence CEO CE1 CE2 CE3 CE4 CE5 CE6 CE7		ļ	ļ		I	Ţ						ļ	1								İ	ļ	ļ								ļ								I	1							İ	İ			
Q.13. Tableau des classes d'équivalence de l'unité de déplacement à 3 axes. Classes d'équivalence CEO CE1 CE2 CE3 CE4 CE5 CE6 CE7	L																																																	_	
Classes d'équivalence CEO CE1 CE2 CE3 CE4 CE5 CE6 CE7 Châssis 40 X	Q .1	2.	Cal	lcul	de	P	e 6	et o	coı	ncl	us	ior	n.																																				/	0,5	50
Classes d'équivalence CEO CE1 CE2 CE3 CE4 CE5 CE6 CE7 Châssis 40 X							-																1																												
Classes d'équivalence CEO CE1 CE2 CE3 CE4 CE5 CE6 CE7 Châssis 40 X				+	+		+	+				+	+	+	\dashv						\vdash	+	+	+							+	+	+							+	\dashv				+	+					
Classes d'équivalence CEO CE1 CE2 CE3 CE4 CE5 CE6 CE7 Châssis 40 X		ļ	ļ		ļ	ļ						ļ	1	1							İ	ļ	1								ļ								İ	1							İ	İ			
Classes d'équivalence CEO CE1 CE2 CE3 CE4 CE5 CE6 CE7 Châssis 40 X	-	+	+	+	+	+	+	+			+	+	+	+	\dashv					H	╁	+	+	+	\dashv					H	+	+	+	+	\dashv		_		+	+	\dashv	-		H	+	+	+		H		
Classes d'équivalence CEO CE1 CE2 CE3 CE4 CE5 CE6 CE7 Châssis 40 X							#																																												
Classes d'équivalence CEO CE1 CE2 CE3 CE4 CE5 CE6 CE7 Châssis 40 X	_			+	+	+	+	-				+	+	-	\dashv						-	+	+	-							+	+	+	_					+	+	\dashv				-	-					
Classes d'équivalence CEO CE1 CE2 CE3 CE4 CE5 CE6 CE7 Châssis 40 X							†																																												
Classes d'équivalence CEO CE1 CE2 CE3 CE4 CE5 CE6 CE7 Châssis 40 X																																																			
Constituents CEO CE1 CE2 CE3 CE4 CE5 CE6 CE7 Châssis 40 X	Q .1	3.	Tal	blea	au	de	s c	las	sse	es (ďέ	έqι	ιiν	ale	enc	ce o	de	ľu	nit	é d	le (dé	pla	ıce	m	en	t à	3 a	axe	s.																			/	1,5	50
CEO CE1 CE2 CE3 CE4 CE5 CE6 CE7 Châssis 40 X Vis 41 Ecrou à billes 42 Poulie 62 Poulie 64					ſ				on	cti	+	an'	+c											CI	as	ses	s d'	'éq	Ιuiν	/al	en	ce																			
Vis 41 Ecrou à billes 42 Poulie 62 Poulie 64					-															CE	1		CE	2		С	E3		C	E4		С	E5	5	С	E6	•	C	E7	7											
Ecrou à billes 42 Poulie 62 Poulie 64								(0		_	-	Х	<u> </u>				-			\downarrow			_			_										\downarrow										
Poulie 62 Poulie 64																-						-			\downarrow			_			1																				
Poulie 64							E							12		-									\downarrow			\downarrow			4										_										
																						1			\downarrow																										
Poulie 65																						1			\downarrow																										
					ļ																				\downarrow																										
Arbre 73									Αı	rbı	re	73	3																																						

NS44

الامتمان الوطني الموحد للبكالوريا – الدورة العادية 2018 — الموضوع – مادة: علوم المهندس — العلوم الرياضية "بم"

D.Rep **5** (4,75 Pts)

Q.14. Tableau des noms des liaisons et des mouvements possibles.

/0,75

	Nom de la liaison	Tx	Ту	Tz	Rx	Ry	Rz
CE1 – CE2							
CE2 – CE5							
CE6 – CE7							

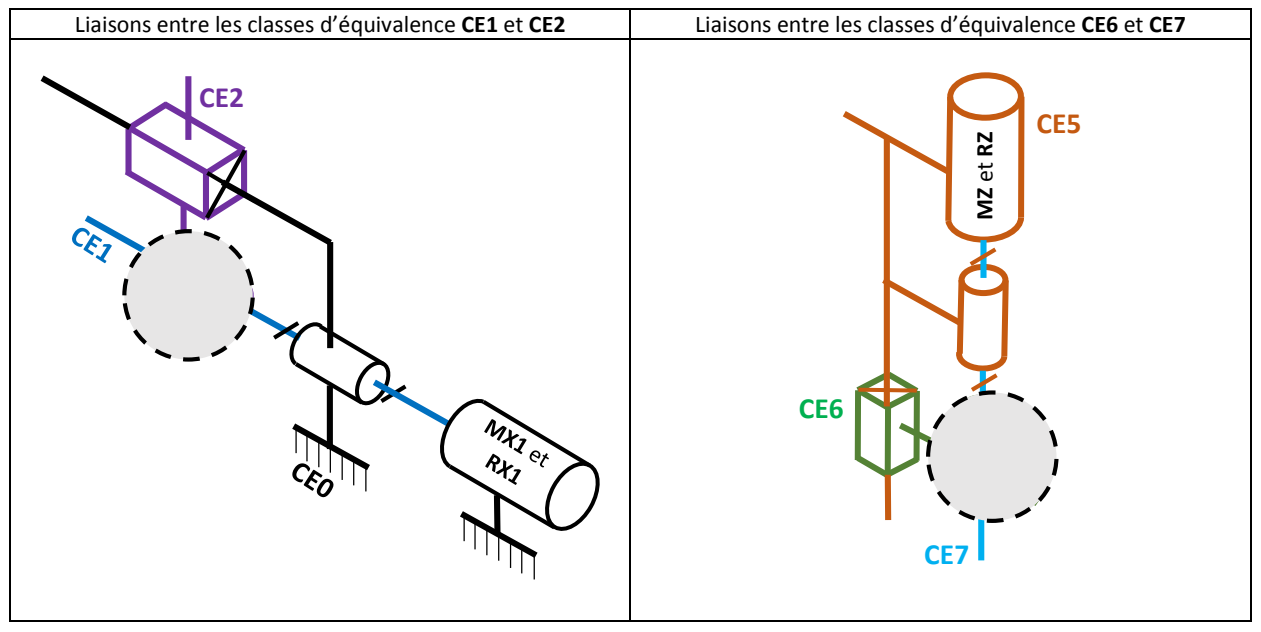
Q.15. Solution employée par le constructeur pour réaliser la liaison entre CE2 et CE4.

/0,25



Q.16. Schéma cinématique de l'unité de déplacement à 3 axes.

/0,5



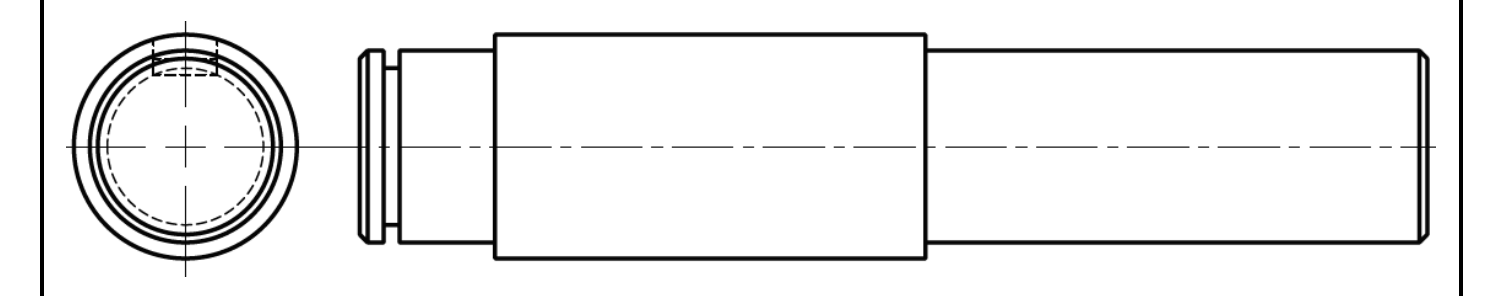
Q.17. Tableau relatif à la liaison entre l'arbre 73 et la poulie 64.

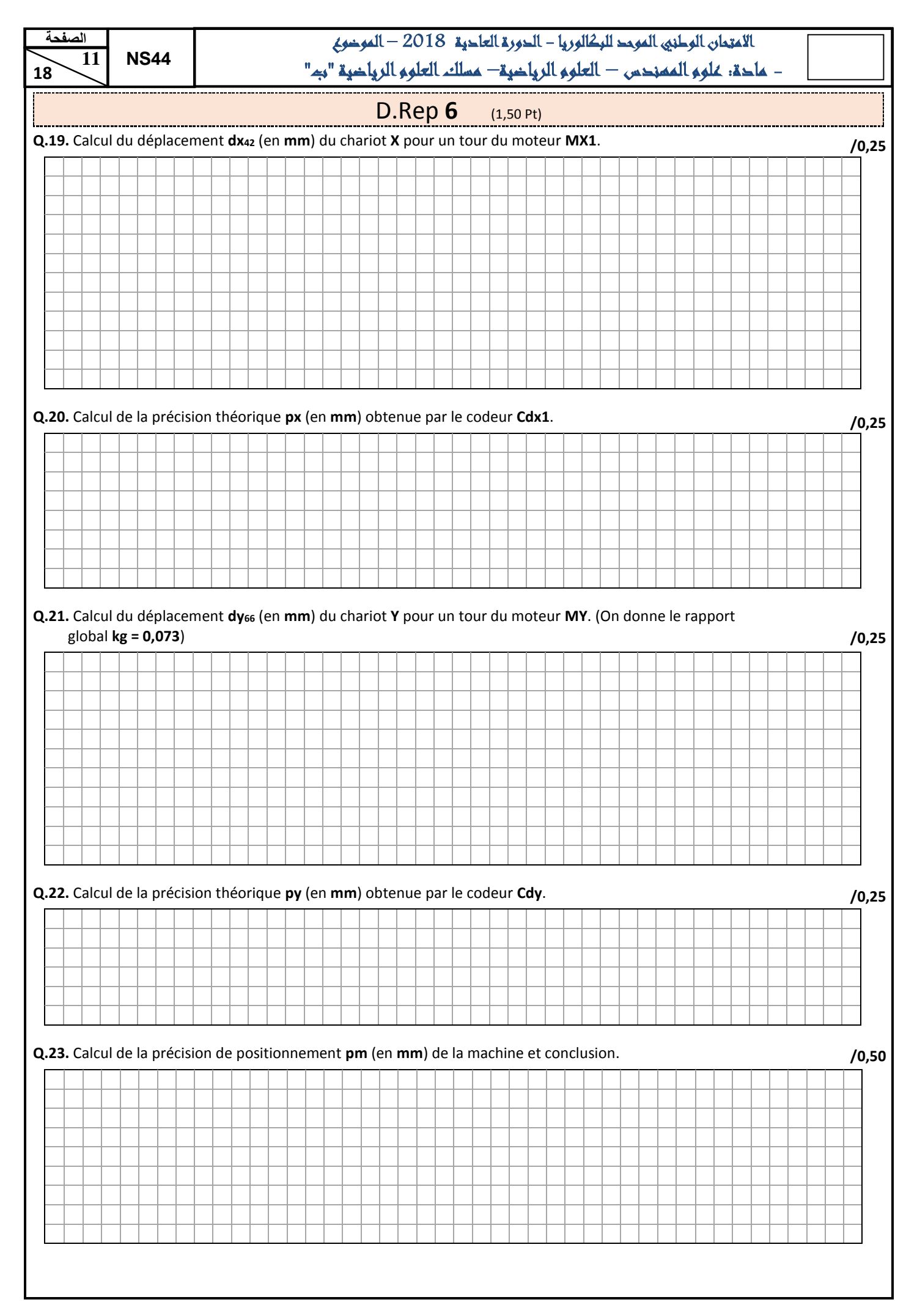
/0,75

Liaison entre	Nom de la liaison	MIP	МАР
73 et 64			

Q.18. Dessin de l'arbre 73.

/2,50





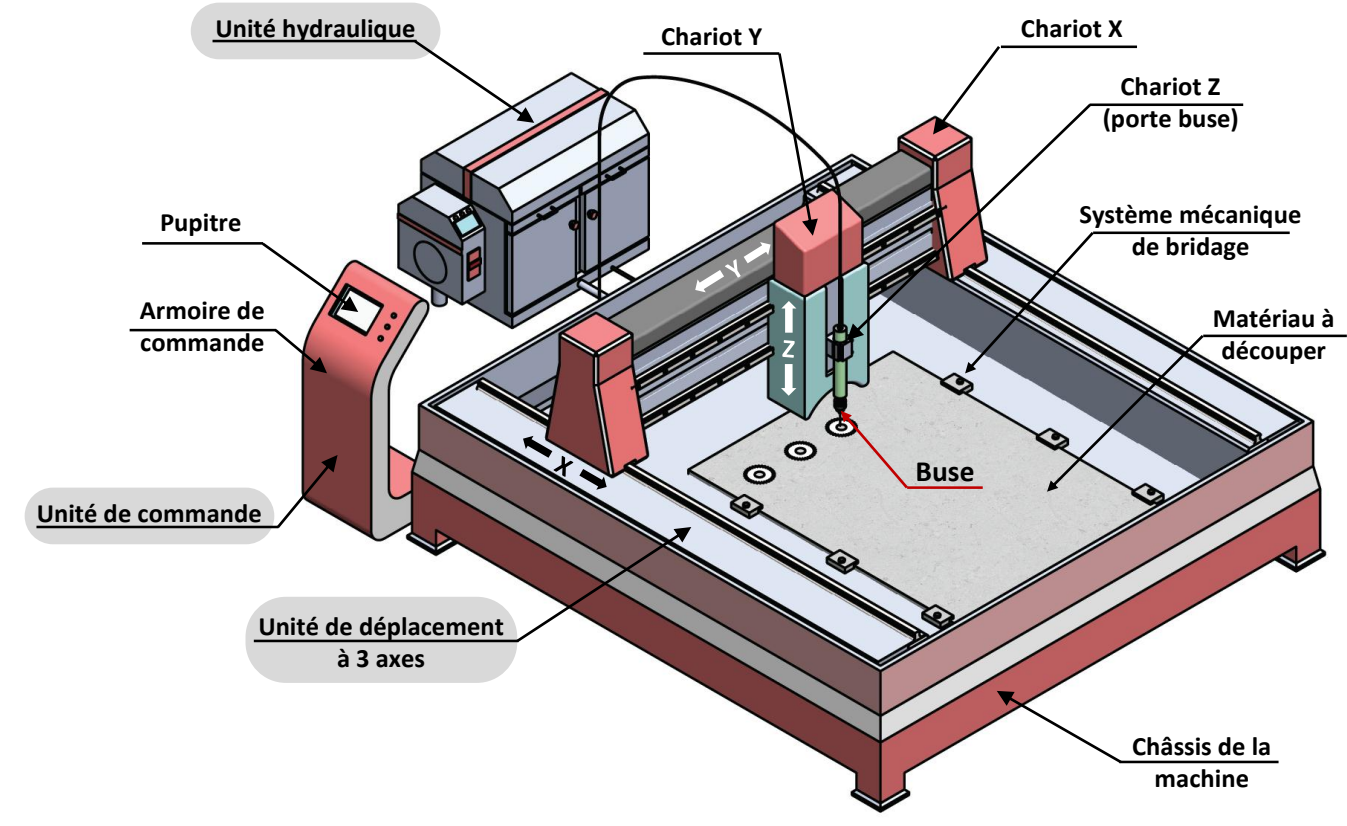
الصفحة		وخوع	الامتحان الوطني الموحد للبكالوريا – الحورة العادية 2018 – المو
18 12	NS44		 مادة: غلوم المهندس — العلوم الرياضية — مسلك العلوم الرياد
		<u></u>	
		C my (en N.m) développé pa	D.Rep 7 (2,50 Pts)
Q.24. Calcu	i du couple C	iny (en N.iii) developpe pa	par le moteur MY. /0,25
Q.25. Valeu	r de la force	électromotrice E (en V) et	t déduction de la vitesse de rotation NmY (en tr/min). /0,50
Q.26. Calcu	l de la puissa	nce P _Y (en W) développée	e par le moteur MY. /0,25
0.27 Calcu	l do la puissa	unco Per (on W) disponible :	au niveau de la courroie 66. /0.25
Q.27. Calcu	i de la puissa	lice F66 (en W) disponible a	au niveau de la courroie 66. /0,25
0.28. Pour	Nmv = 2300	tr/min. calcul de la vitesse	e de rotation N ₆₄ (en tr/min) et de la vitesse linéaire V ₆₆ (en m/s). /0,50
			, , , , , , , , , , , , , , , , , , ,
Q.29. Calcu	l de la force d	de poussée F 66 (en N) dispo	ponible au niveau de la courroie 66. /0,25
		, , ,	
Q.30. Valida	ation du mot	eur MY et justification.	/0,50

NS44

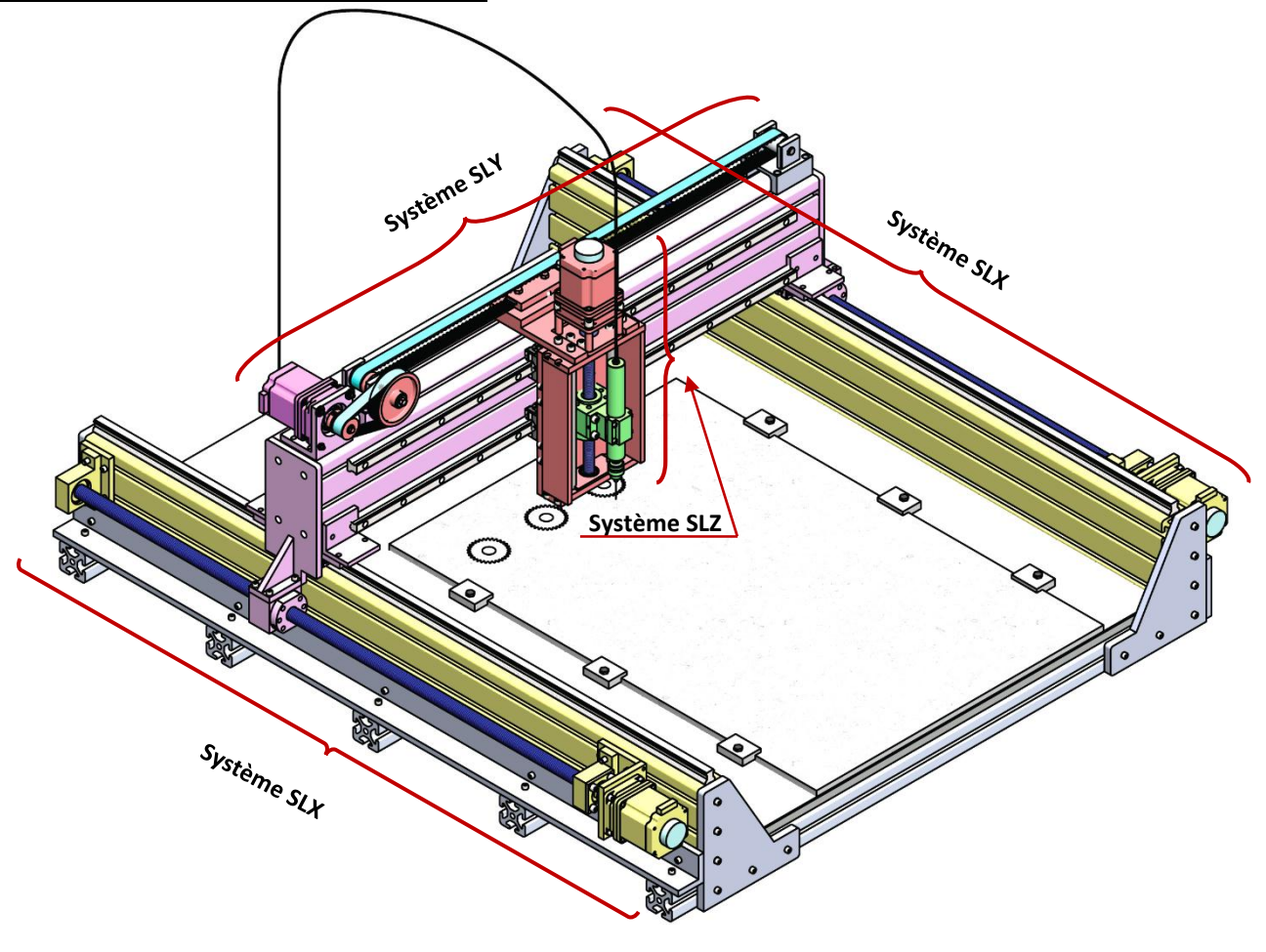
الامتحان الوطني الموحد للبكالوريا – الدورة العادية 2018 — الموضوع – هادة: عُلُومِ المُصنِدس — العلومِ الرياضية— مسلك العلومِ الرياضية "بج"

D.Res 1

Vue 3D de la machine de découpe à jet d'eau

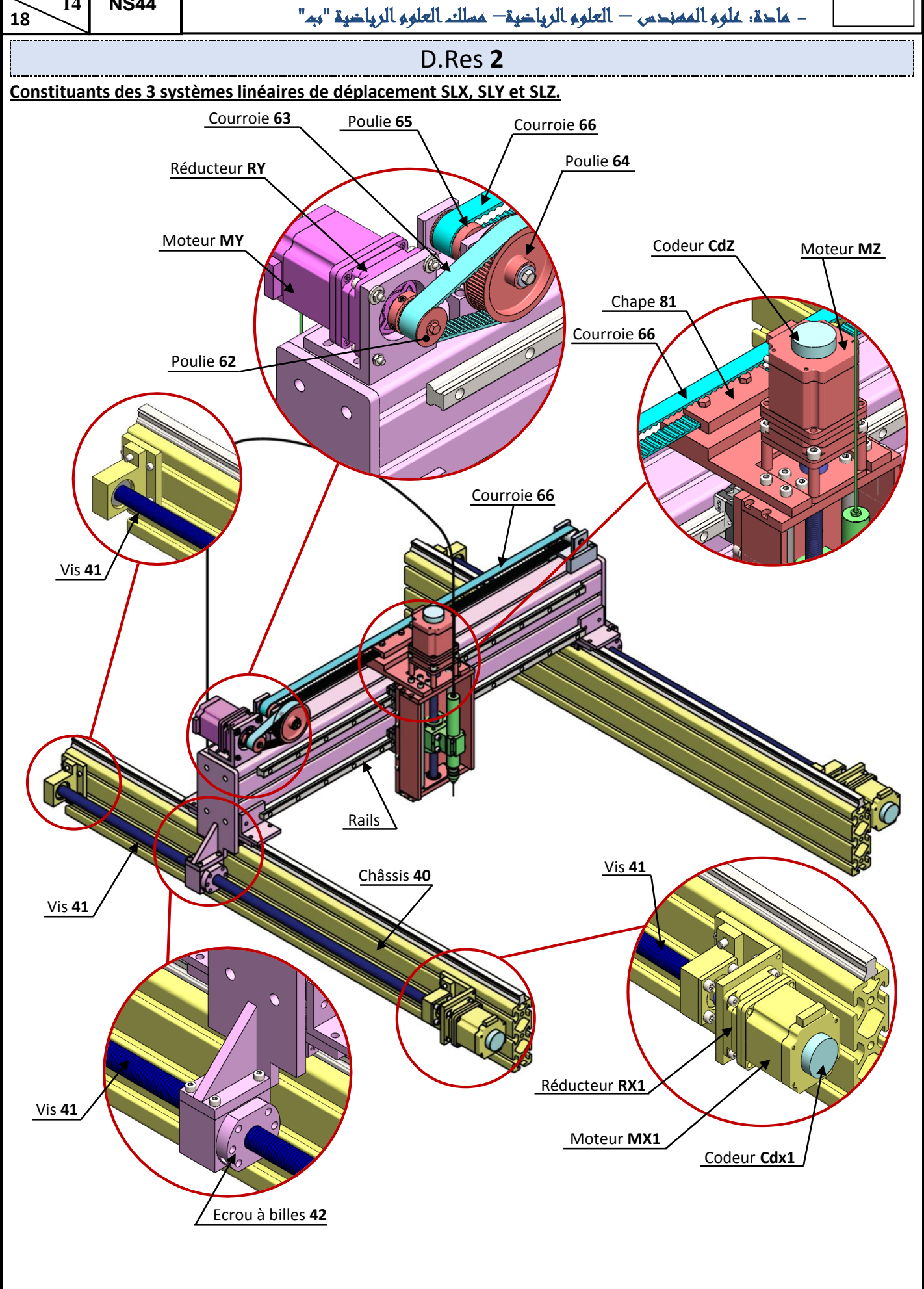


Structure de l'unité de déplacement à 3 axes



NS44

الامتحان الوطني الموحد للبكالوريا – الدورة العادية 2018 – الموضوع - مادة: عُلُومُ المُسَنِّدِس – العلومُ الرياضية— مسلك العلومُ الرياضية "بد"



NS44

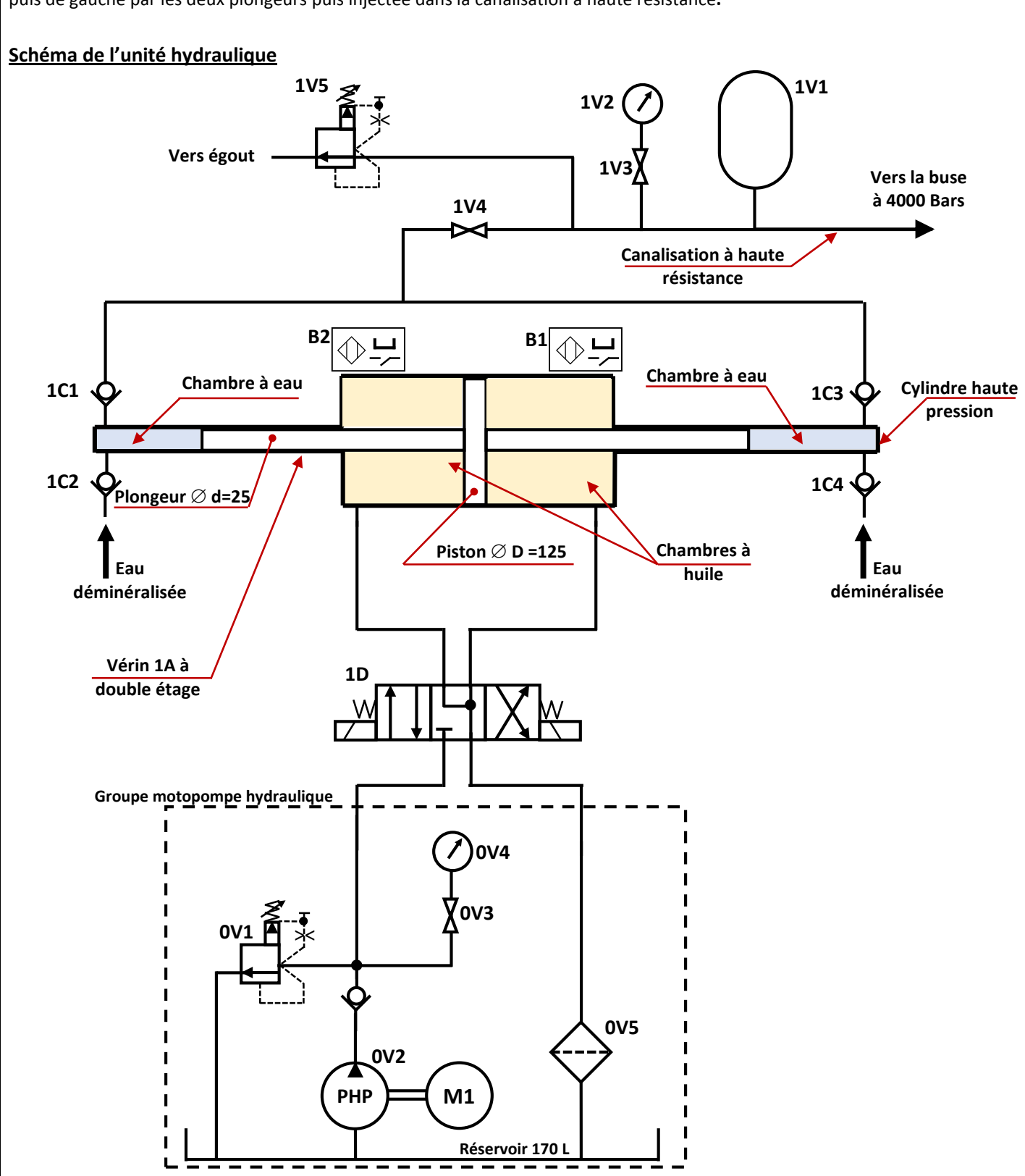
الامتدان الوطني الموحد للبكالوريا – الدورة العادية 2018 – الموضوع – مادة: عُلُومُ المُمنِدس — العلومُ الرياضية— مسلك العلومُ الرياضية "بجـ"

D.Res 3

Principe de fonctionnement de l'intensifieur.

L'intensifieur applique la loi de Pascal et utilise la différence des sections entre le piston diamètre **D** (coté hydraulique **huile**) et le plongeur diamètre **d** (coté hydraulique **eau**) pour générer la très haute pression (**THP**). Il est caractérisé par un coefficient multiplicateur de pression qui peut être de l'ordre de **20 fois**, **24 fois**, **30 fois** jusqu'à **36 fois**.

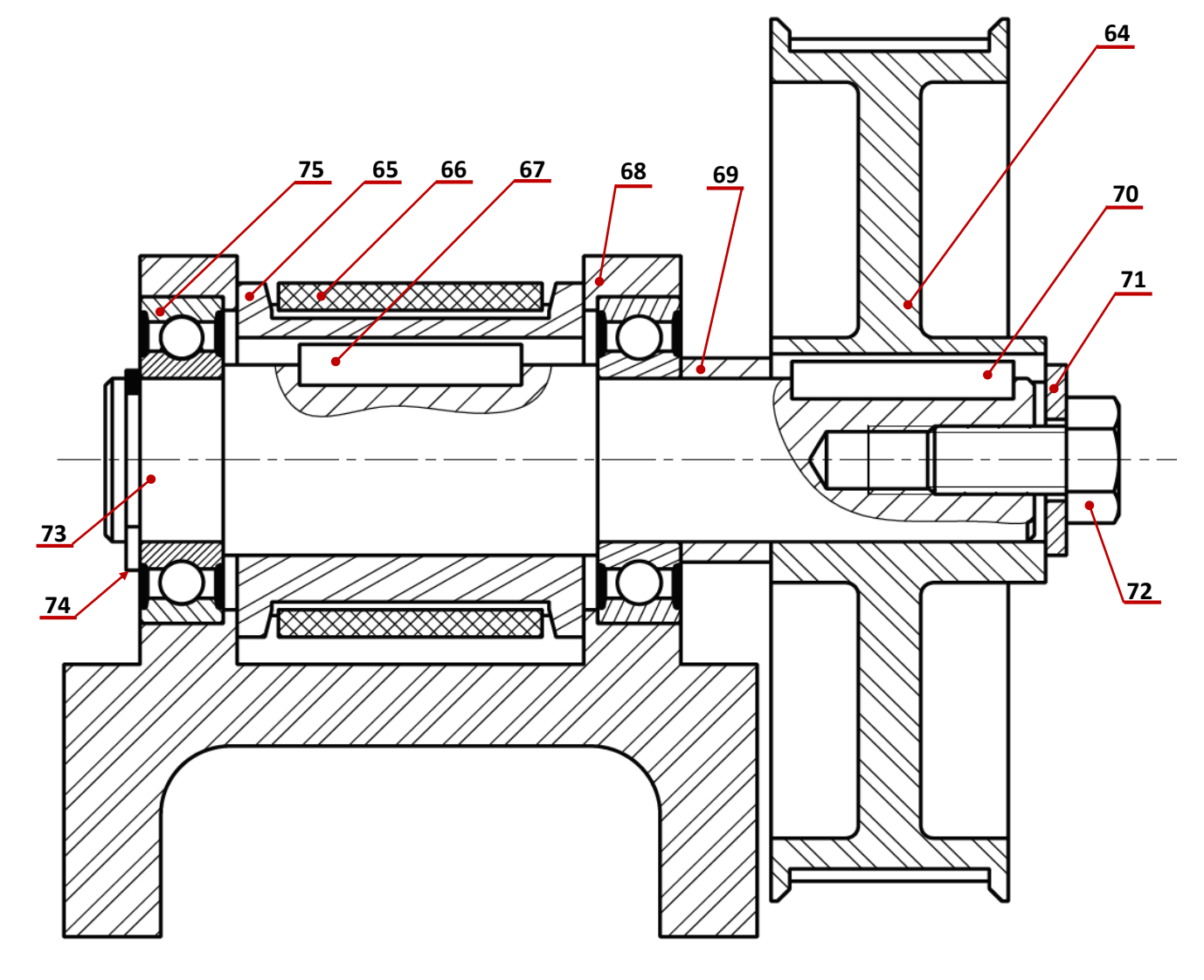
Le piston effectue un mouvement de va et vient entre **B1** et **B2** qui fournissent le signal de pilotage du distributeur hydraulique **1D** qui inverse le sens de déplacement du piston. L'eau est pressurisée successivement dans les cylindres haute pression de droite puis de gauche par les deux plongeurs puis injectée dans la canalisation à haute résistance.



الامتحان الوطني الموحد للبكالوريا – الدورة العادية 2018 – الموضوع – مادة: علوم المهندس — العلوم الرياضية "بم"

D.Res 4

Dessin 2D de la classe d'équivalence CE4 à l'échelle 1 : 1



75	2			
74	1	Anneau élastique		
73	1	Arbre	E335	
72	1	Vis H-M10-22		
71	1	Rondelle		
70	1	Clavette parallèle		
69	1	Bague		
68	1	Support de fixation		
67	1	Clavette parallèle		
66	1	Courroie crantée d'entrainement		
65	1	Poulie d'entrainement		D ₆₅ = 48 mm
64	1	Poulie réceptrice		D ₆₄ = 128 mm
REP.	NB.	DESIGNATION	MATIERE	OBSERVATION

الامتحان الوطني الموحد للبكالوريا – الدورة العادية 2018 – الموضوع – مادة: علوم المهندس — العلوم الرياضية "بم"

D.Res **5**

Schéma cinématique 3D des systèmes de déplacement SLX, SLY, SLZ.

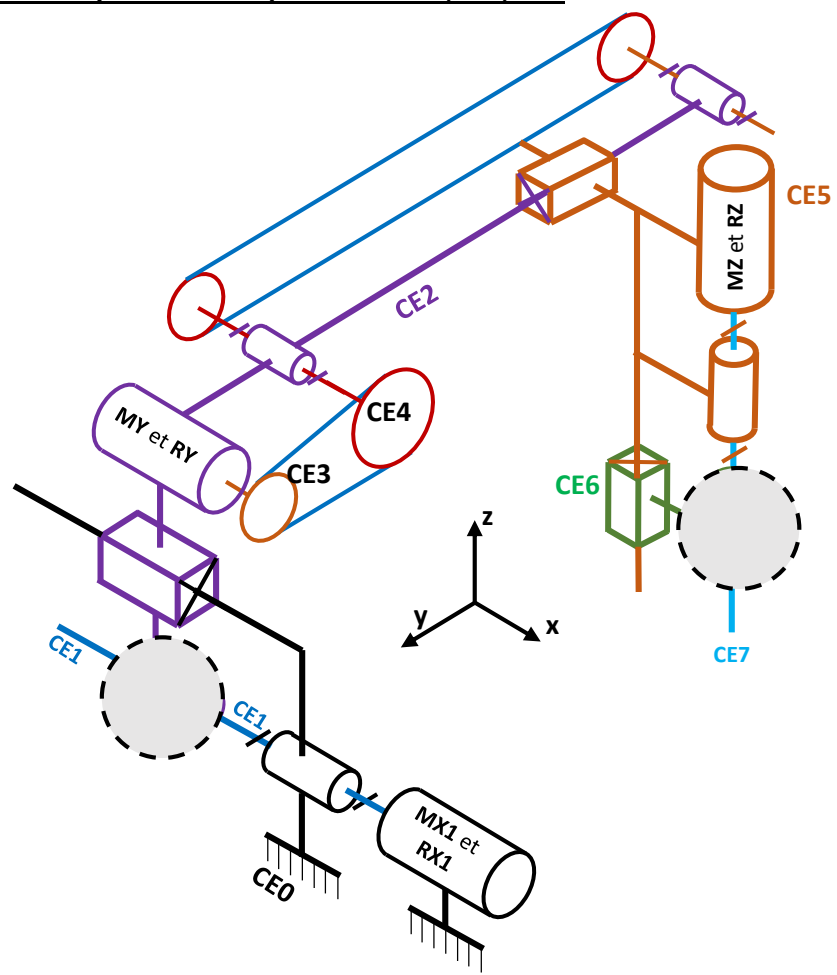


Schéma synoptique du système linéaire SLX



Caractéristiques du réducteur RX1								
Rapport de transmission k	0,195							
Rendement η_3	0,91							

Caractéristiques des systèmes Vis-écrous à billes							
Pas p de la vis 41	10 mm						
Course maximale xm ₄₂ de l'écrou 42	2970 mm						
Rendement η 2	0,96						

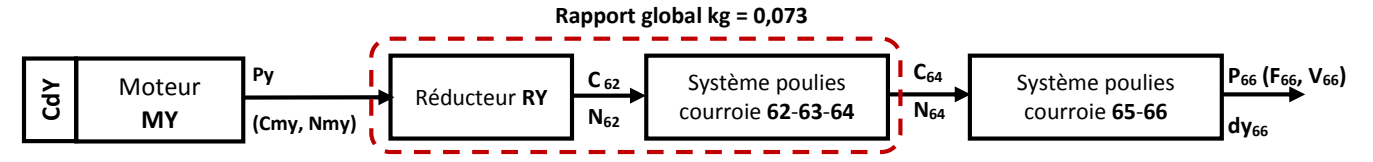
Caractéristiques des codeurs Cdx1, Cdx2, CdY et CdZ

Туре	Incrémental
Nombre de points Nb (Résolution)	1024 points

الامتمان الوطني الموحد للبكالوريا – الدورة العادية 2018 — الموضوع – هادة: عُلُومِ المُصنِدس — العلومِ الرياضية — مسلك العلومِ الرياضية "بم"

D.Res 6

Schéma synoptique du système linéaire SLY



Caractéristiques du réducteur RY				
Rapport de transmission k 0,195				
Rendement η ₃	0,91			

Caractéristiques du système poulies courroie 62-63-64				
Type de courroie Courroie crantée				
Diamètres des poulies (mm)	D ₆₂ = 48, D ₆₄ = 128			
Rendement η ₄	0,97			

Caractéristiques du système poulies courroie 65-66				
Type de courroie Courroie crantée				
Diamètres des deux poulies 65 (mm)	D ₆₅ = 48			
Course maximale ym 66 de la courroie 66	2390 mm			
Rendement η ₅	0,97			

La précision théorique d'un codeur incrémental est :

dp	pr : Précision théorique du codeur.
$nr = \frac{nr}{r}$	dp : Déplacement du chariot pour un tour du codeur.
	Nb : Nombre de point du codeur.

La formule donnant la précision de positionnement suivant les axes X et Y est :

	pp : Précision de positionnement en mm.
$x \cdot \Delta x + y \cdot \Delta y$	x: Course maximale suivant l'axe X .
$pp \approx \frac{x+2x+y+2y}{\sqrt{x^2+y^2}}$	Δx : Précision de déplacement suivant l'axe X .
$\sqrt{x^2 + y^2}$	y: Course maximale suivant l'axe Y .
	Δy : Précision de déplacement suivant l'axe Y .

Extrait des caractéristiques du moteur MY

Caractéristiques du moteur MY (aimant permanent)				
Tension nominale Un	75 ∨			
Courant nominal In	5,2 A			
Vitesse maximale N	4000 tr/min			
Vitesse nominale Nn	2500 tr/min			
Puissance Pu	300 W			
Résistance de l'induit Ra	1,1 Ω			
Couple nominal Cn	1,18 N.m			
Constante de vitesse ke	0,0286 V/tr.min ⁻¹			
Constante de couple Kc	0,273 N.m/A			
Rendement η ₁	0,92			



الامتحان الوطني الموحد للبكالوريا

الدورة العادية 2018 -عناصر الإجابة-

NR 44

0≯CYJN | +≯∧NXo+ C3Jolo ≯JXO8 | +⊙cLuJo+ IoH8## X+F3JO3 ∧ Io⊖OoJo 8##O8 ∧ oNH#Olo ∧JNOO8 ∧

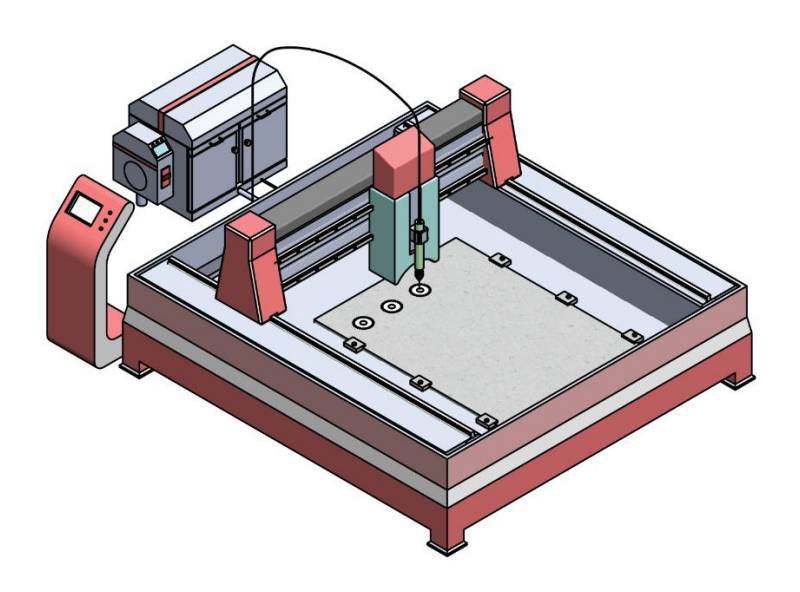




المركز الوكني للتقويم والامتحانات والتوجيه

3	مدة الإنجاز	علوم المهندس	المادة
3	المعامل	شعبة العلوم الرياضية: مسلك العلوم الرياضية "ب"	الشعبة أو المسلك

Eléments de corrigé



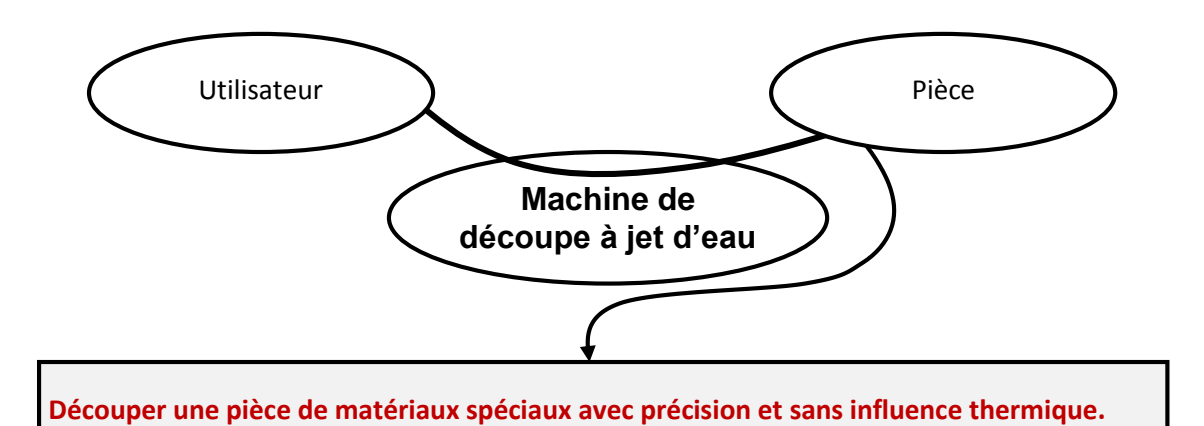
Machine de découpe à jet d'eau

الصفحة 2 NR 44 الامتحان الوطني الموحد للبكالوريا – الدورة العادية 2018 – عناصر الإجابة – ماحة: علوم المهندس — العلوم الرياضية – مسلك العلوم الرياضية "بم"

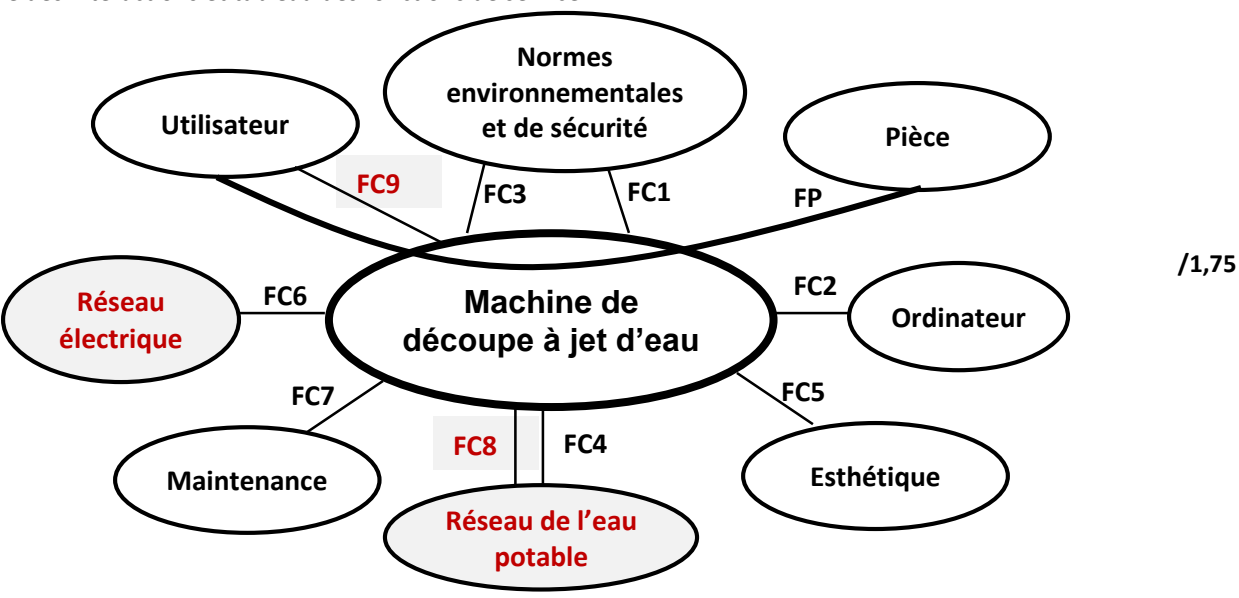
/0,25

D.Rep **1** (2,00 Pts)

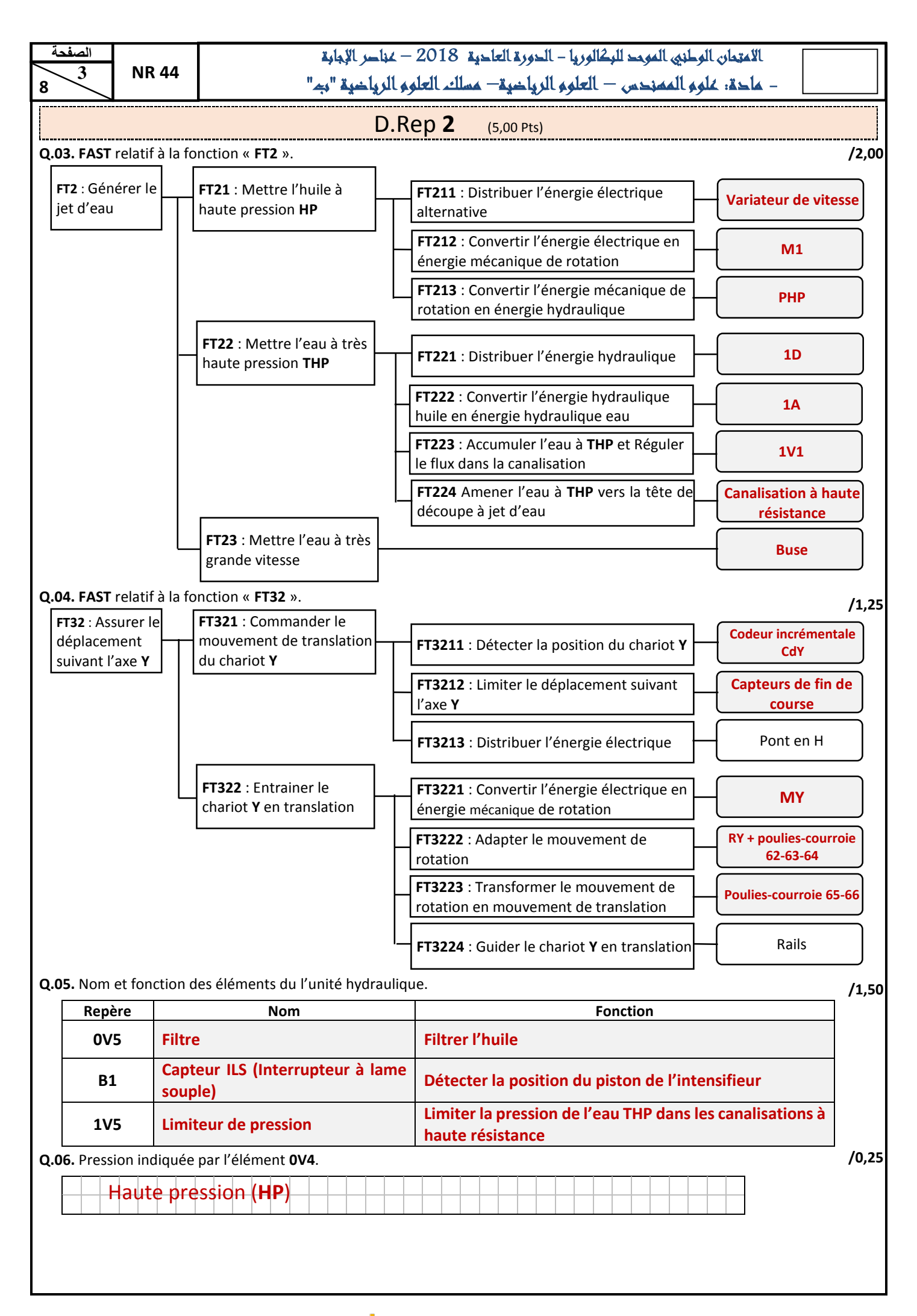
Q.01. « Bête à cornes ».



Q.02. Digramme des interactions et tableau des fonctions de service.



FP	Découper une pièce de matériaux spéciaux avec précision et sans influence thermique.
FC1	Respecter les normes environnementales.
FC2	Se connecter à un ordinateur.
FC3	Respecter les normes de sécurité.
FC4	Utiliser l'eau du réseau de l'eau potable.
FC5	Etre esthétique.
FC6	Utiliser l'énergie électrique du réseau électrique.
FC7	Avoir une maintenance aisée
FC8	Déminéraliser l'eau
FC9	Garantir la sécurité de l'utilisateur

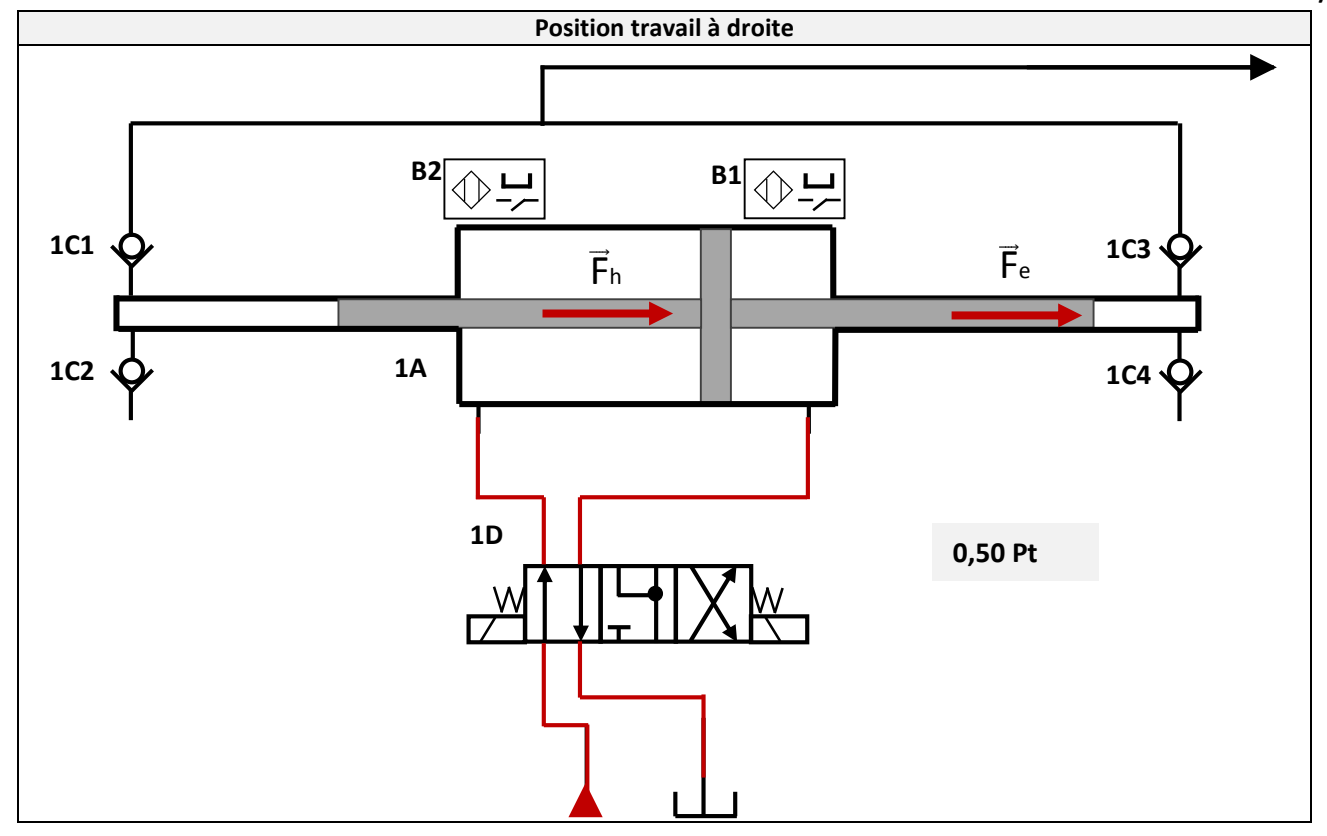


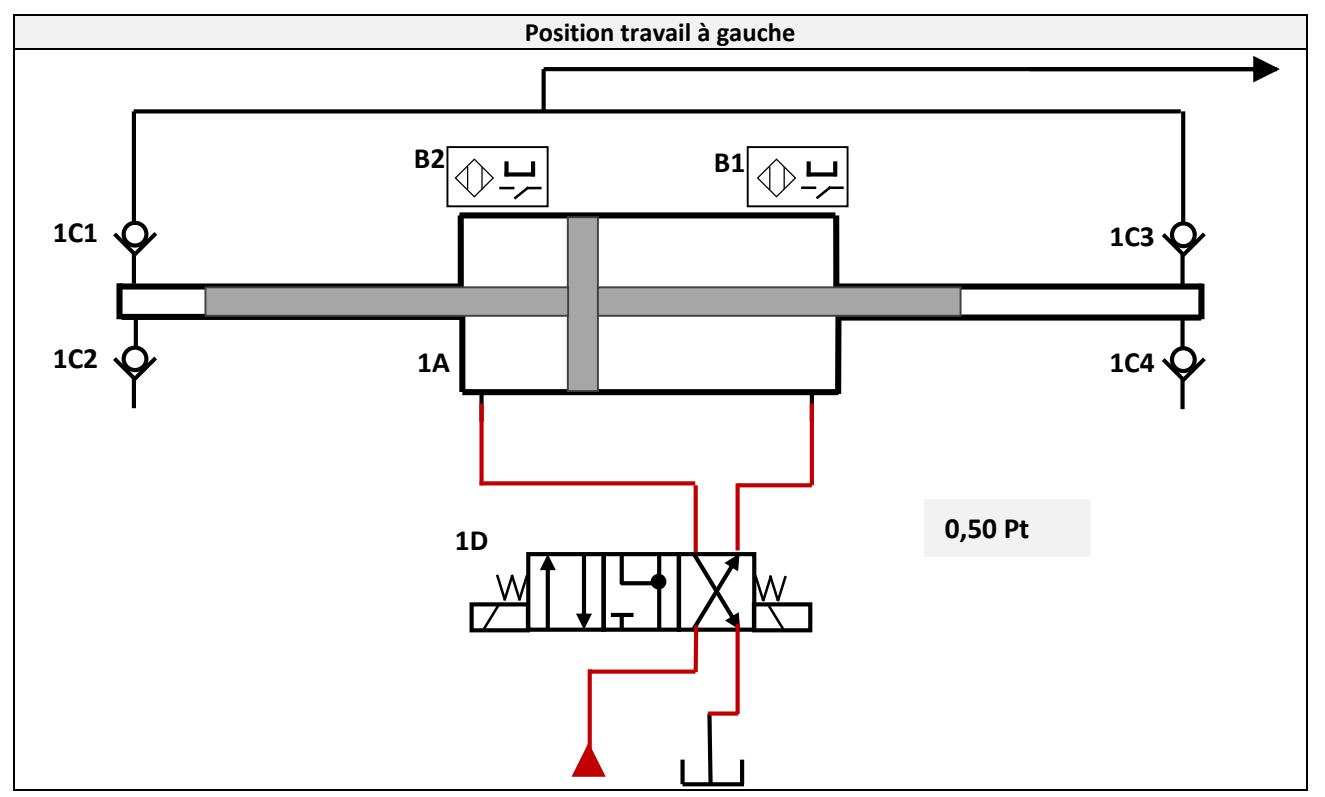
الصفحة 4 NR 44 الامتحان الوطني الموحد للبكالوريا – الدورة العادية 2018 – عناصر الإجابة – ماحة: علوم المهندس — العلوم الرياضية "بح"

D.Rep **3** (1,25 Pt)

Q.07. Schéma de câblage de puissance de l'intensifieur dans les deux positions travail.

/1,00





Q.08. Etat des clapets (Bloqué ou Passant) dans la position travail à droite.

/0,25

Clapet	1C1	1C2	1C3	1C4
Etat	Bloqué	Passant	Passant	Bloqué

NR 44

الامتحان الوطني الموحد للبكالوريا – الدورة العادية 2018 – عناسر الإجابة – مادة: عُلُوهِ المُمنِدس — العلومِ الرياضية— مسلك العلومِ الرياضية "بم"

D.Rep 4

Q.09. Expression théorique de l'effort Fh en fonction de la pression de l'huile Ph et des diamètres D et d.

/0,25

$$\mathsf{Fh} = \mathsf{Ph} \times \pi \times \frac{D^2 - d^2}{4}$$

Q.10. Expression théorique de l'effort Fe en fonction de la pression de l'eau Pe et du diamètre d

/0,25

$$Fe = Pe \times \pi \times \frac{d^2}{4}$$

Q.11. Démonstration de Pe = 24 x Ph.

/0,50

Fe = Fh donc

Pe x
$$\pi$$
 x $\frac{d^2}{4}$ = Ph x π x $\frac{D^2 - d^2}{4}$

Donc

Pe = Ph x $\frac{D^2 - d^2}{4}$

Pe = Ph x
$$\frac{D^2 - d^2}{d^2}$$
 0,25 Pt

A.N. Pe = $\frac{125^2 - 25^2}{25^2}$ x Ph = 24 x Ph

A.N.
$$Pe = \frac{125^2 - 25^2}{25^2} \times Ph = 24 \times Ph$$
 0,25 Pt

Q.12. Calcul de Pe et conclusion.

/0,50

La pression de l'eau de découpe selon le CdCF est : 4000 bars $\pm 5\%$

Donc 3800 bars < Pression de l'eau < 4200.

0,25 Pt

Pe = 3840 bars, donc elle correspond bien à la valeur annoncée par le constructeur dans le CdCF.

Q.13. Tableau des classes d'équivalence de l'unité de déplacement à 3 axes.

/1,50

Constituents			Cla	sses d'é	quivale	nce		
Constituants	CE0	CE1	CE2	CE3	CE4	CE5	CE6	CE7
Châssis 40	Х							
Vis 41		X						
Ecrou à billes 42			X					
Poulie 62				X				
Poulie 64					X			
Poulie 65					X			
Arbre 73					X			

NR 44

الامتحان الوطني الموحد للبكالوريا – الدورة العادية 2018 – غناصر الإجابة – مادة: عُلُومِ المهندس — العلومِ الرياضية – مادة: عُلُومِ المهندس — العلومِ الرياضية – مادة:

D.Rep **5** (4,75 Pts)

Q.14. Tableau des noms des liaisons et des mouvements possibles.

/0,75

	Nom de la liaison	Tx	Ту	Tz	Rx	Ry	Rz
CE1 – CE2	Hélicoïdale	X			X		
CE2 – CE5	Glissière		X				
CE6 – CE7	Hélicoïdale			X			X

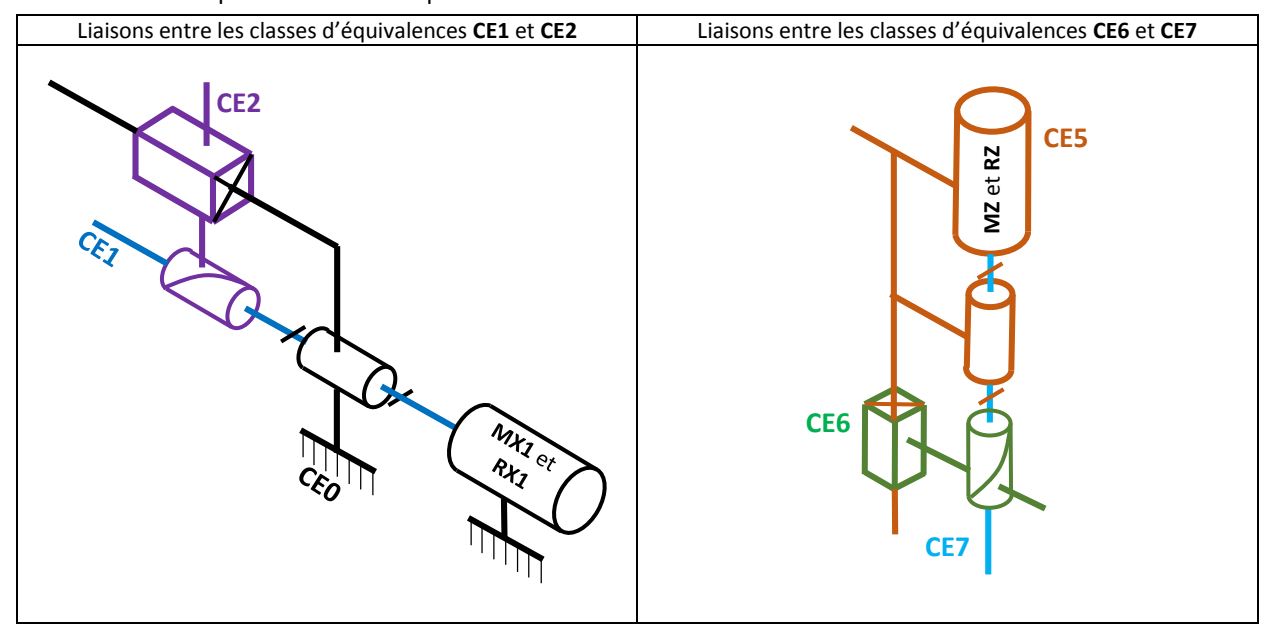
Q.15. Solution employée par le constructeur pour réaliser la liaison entre CE2 et CE4.

/0,25

Par Roulements à billes

Q.16. Schéma cinématique de l'unité de déplacement à 3 axes.

/0,5

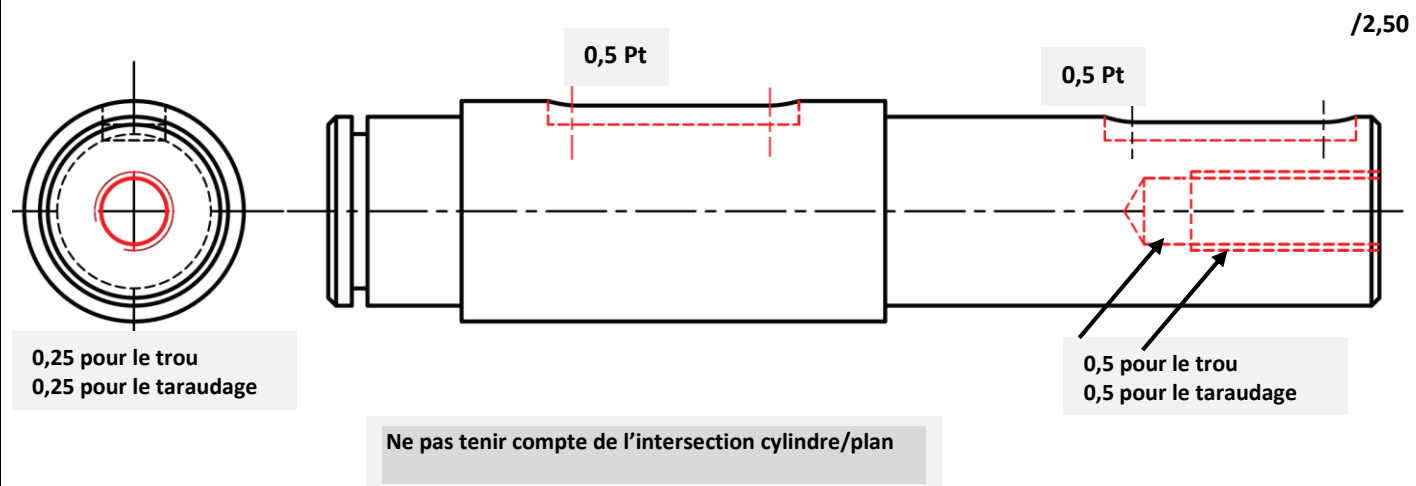


Q.17. Tableau relatif à la liaison entre l'arbre 73 et la poulie 64.

/0,75

Liaison entre	Nom de la liaison	MIP	MAP
73 et 64	Encastrement	Surface plane + S. cylindrique + clavette	Vis 72 + rondelle 71

Q.18. Dessin de l'arbre 73.



NR 44

الامتحان الوطني الموحد للبكالوريا – الدورة العادية 2018 – عناسر الإجابة – مادة: علوم الممندس — العلوم الرياضية— مسلك العلوم الرياضية "بد"

D.Rep 6 (1,50 Pt)

Q.19. Calcul du déplacement dx42 (en mm) du chariot X pour un tour du moteur MX1.

/0,25

$$dx_{42} = n_{41} \times p = n_{mx1} \times k \times p$$

 $n_{mx1} = 1$ tour, k = 0.195 et p = 10 mm

 $dx_{42} = 1,95 \text{ mm}$

Q.20. Calcul de la précision théorique px (en mm) obtenue par le codeur Cdx1.

/0,25

$$\mathbf{px} = \frac{d_{x42}}{Nb} = \frac{1,95}{1024} = 0,0019 \text{ mm}$$

Q.21. Calcul du déplacement dy66 (en mm) du chariot Y pour un tour du moteur MY. (On donne le rapport global kg = 0,073)

/0,25

$$dy_{66} = n_{65} \times \pi \times D_{65}$$

 $dy_{66} = n_{mv} \times kg \times \pi \times D_{65}$

 $dy_{66} = 1 \times 0.073 \times \pi \times 48 = 11.0081 \text{ mm}$

Q.22. Calcul de la précision théorique py (en mm) obtenue par le codeur Cdy.

/0,25

$$\mathbf{py} = \frac{d_{y66}}{Nb} = \frac{11,0081}{1024} = \mathbf{0,0107} \text{ mm}$$

Q.23. Calcul de la précision de positionnement pm (en mm) de la machine et conclusion.

/0,50

$$pm = \frac{xm_{42} \cdot px + ym_{66} \cdot py}{\sqrt{xm_{42}^2 + ym_{66}^2}}$$

$$pm = \frac{^{2970 \cdot 0,0019} + ^{2390 \cdot 0,0107}}{\sqrt{^{2970}^2 + ^{2390}^2}}$$

pm < à la précision annoncée dans le CdCF = 0,01 mm

0,25 Pt

0,25 Pt

NR 44

الامتحان الوطني الموحد للبكالوريا – الدورة العادية 2018 – عناسر الإجابة – مادة: عُلُومُ المهندس – العلومُ الرياضية – مسلك العلومُ الرياضية "بج"

0,25 Pt

D.Rep **7** (2,50 Pts)

Q.24. Calcul du couple Cmy (en N.m) développé par le moteur MY.

/0,25

Cmy =
$$kc \times I = 0,273 \times 4$$

Cmy = 1,09 N.m

Q.25. Valeur de la force électromotrice E (en V) et déduction de la vitesse de rotation NmY (en tr/min).

/0,50

$$E = U - Ra \times I = 70 - 1,1 \times 4 = E = 65,6 V$$

 $E = ke \times Nmy$

donc Nmy = E/ke = 65,6/0,0286

Nmy = 2293,70 tr/min

0,25 Pt

Q.26. Calcul de la puissance P_Y (en W) développée par le moteur MY.

/0,25

Py = Cmy
$$\times \pi \times Nmy/30$$

 $Py = 1,09 \times \pi \times 2293,70/30$

Py = 261,81 W

Q.27. Calcul de la puissance P₆₆ (en W) disponible au niveau de la courroie 66.

/0,25

$$P_{66}/Py = \eta_3 \times \eta_4 \times \eta_5$$

 $P_{66} = Py \times \eta_3 \times \eta_4 \times \eta_5$

 $P_{66} = 261,81 \times 0,91 \times 0,97 \times 0,97$

 $P_{66} = 224,17 W$

/0,50

Q.28. Pour Nmy = 2300 tr/min, calcul de la vitesse de rotation
$$N_{64}$$
 (en tr/min) et de la vitesse linéaire V_{66} (en m/s).

$$\frac{N_{64}}{N_{my}} = kg = 0,073$$

 $N_{64} = N_{my} \times 0.073 = 2300 \times 0.073 = 167.9 \text{ tr/min}$

 $V_{66} = \omega_{65} \times \frac{D_{65}}{2} = \pi \times \frac{N_{64}}{30} \times \frac{D_{65}}{2} = \pi \times \frac{167,9}{30} \times \frac{48}{2}$

 $V_{66} = 422,98 \text{ mm/s} = 0,42 \text{ m/s}$ 0,25 Pt

0,25 Pt

Q.29. Calcul de la force de poussée F₆₆ (en N) disponible au niveau du chariot Y.

/0,25

$$P_{66} = F_{66} \times V_{66}$$
 donc $F_{66} = \frac{P_{66}}{V_{66}}$

 $\mathbf{F}_{66} = \frac{224,17}{0,42} = 533,74 \text{ N}$

Q. 30. Validation du moteur MY et justification.

/0,50

Oui, parce que F₆₆ = 533,74 > 470 N (Force minimale pour déplacer le chariot Y)